

بررسی خصوصیات فیزیکوشیمیایی و حسی ماست پروپیوتیک کم چرب غنی سازی شده با نانو امولسیون اسانس موسیر ایرانی حامل اسیدهای چرب امگاشه

نسرین فرجی^{۱*}، محمد علیزاده^۲، هادی الماسی^۳، سجاد پیرسا^۴، سهیلا فرجی^۵

۱- دانش آموخته دکترای علوم و صنایع غذایی، مدیر تحقیق و توسعه شرکت آذین شوشتار

۲- استاد علوم و صنایع غذایی، دانشگاه ارومیه، گروه علوم و صنایع غذایی

۳- دانشیار علوم و صنایع غذایی، دانشگاه ارومیه، گروه علوم و صنایع غذایی

۴- دانشیار علوم و صنایع غذایی، دانشگاه ارومیه، گروه علوم و صنایع غذایی

۵- دانش آموخته کارشناسی ارشد علوم و صنایع غذایی، مدیر کنترل کیفیت شرکت آذین شوشتار

(تاریخ دریافت: ۹۸/۱۰/۰۳ تاریخ پذیرش: ۹۹/۰۱/۲۳)

چکیده

در این پژوهش، نانوامولسیون اسیدهای چرب امگا سه با استفاده از اسانس موسیر ایرانی به روش امولسیفیکاسیون خودبخودی تهیه گردید. هدف از این مطالعه، بررسی شرایط بهینه تولید ماست پروپیوتیک غنی سازی شده با نانوامولسیون اسانس موسیر ایرانی حامل اسیدهای چرب امگا سه با استفاده از طرح D-optimal بود و در ادامه، خصوصیات فیزیکوشیمیایی ماست پروپیوتیک مورد ارزیابی قرار گرفت. برای این منظور در ابتدا نانوامولسیون های حاوی اسیدهای چرب امگا سه با استفاده از اسانس گیاهی موسیر ایرانی (میزان امگا سه ۲۵ درصد، مدت زمان نگهداری ۳۵ روز، نسبت سورفاکtant به روغن (۲۶۳/۳۹) درصد و نوع سورفاکtant توئین ۸۰) تولید گردیدند، سپس غنی سازی ماست پروپیوتیک با نانوامولسیون های تولید شده انجام گردید و تاثیر دو متغیر مستقل غلظت نانوامولسیون و مدت زمان نگهداری بر روی ویژگی های فیزیکوشیمیایی، رشد جمعیت پروپیوتیک و خواص حسی ماست مورد بررسی قرار گرفت. نتایج نشان دادند که اندازه قطرات بسیار تحت تاثیر غلظت سورفاکtant و نوع سورفاکtant بود و با افزایش مقدار سورفاکtant، میانگین قطر قطرات کاهش معنی داری یافت، در واقع افزایش غلظت سورفاکtant در نانوامولسیون ها در اکثر موارد سبب افزایش میزان جذب سورفاکtant به سطح امولسیون گردیده و در نتیجه منجر به کاهش بیشتر کشش سطحی شده و در نهایت سبب کاهش اندازه ذرات، شاخص کلورت، اندازه ای شدن و افزایش راندمان درون پوشانی گردید، همچنین افزودن نانوامولسیون در ماست پروپیوتیک بر روی ویژگی هایی مانند اندازه پراکسیل، میزان آب اندازی، زنده مانی جمعیت پروپیوتیک ها و ارزیابی حسی تاثیر معنی داری داشت، رشد جمعیت میکروارگانیسم های پروپیوتیک در ماست در حضور نانوامولسیون اسانس موسیر به علت دسترسی به مواد مغذی افزایش یافت و همچنین میزان آب اندازی با افزودن نانوامولسیون ها کاهش داشت. با استفاده از بهینه سازی عددی، مقادیر بهینه متغیرهای مستقل ماست پروپیوتیک غنی شده با مطلوبیت ۰/۸ بصورت مدت زمان نگهداری ۱۵ روز و غلظت نانوامولسیون ۱/۴ درصد تعیین شد.

کلید واژگان: ماست پروپیوتیک، اسانس موسیر ایرانی، اسیدهای چرب امگا سه، نانوامولسیون

*مسئول مکاتبات: Nasrin.faraji88@yahoo.com

عبارتند از: روغن ماهی، روغن کریل، روغن تخم ماهی، روغن جلبک، روغن بذر کتان، روغن دانه چیا، روغن ساشا اینچی، روغن اچیوم و روغن گیاه شاهدانه. میزان این اسیدهای چرب ضروری امگا سه در موجودات دریایی مانند ماهی ها بیشتر از سایر مواد غذایی هست، اما استفاده از ماهی بعنوان منبع غنی از اسیدهای چرب غیر اشبع به دلیل قیمت بالای آنها، بروی نامطبوع و میزان آلوگی هایی مانند فلزات سنگین، قابلیت دسترسی و تامین همیشگی آنها محدودیت هایی دارد [۶ و ۷]. یکی از راهکارهای مناسب برای جلوگیری از بروز این مشکلات، غنی سازی مواد غذایی با این ترکیبات مغذی اسیدهای چرب امگا سه است، اما محدودیت هایی در ارتباط با غنی سازی مواد غذایی با روغن ماهی وجود دارد اولاً: اسیدهای چرب غیر اشبع مولکول های بسیار آبگریزی بوده که محلولیت در آب بسیار پایینی دارند و ثانیا اسیدهای چرب غیر اشبع بسیار حساس نسبت به اکسیداسیون هستند و در طی دوران نگهداری دچار فساد شده و تولید ترکیبات نامطبوعی می کنند که مصرف را برای مصرف کننده با مشکل مواجه می کند [۸]. صنایع غذایی همواره در جستجوی روش های جدیدتر و ارزان تر برای تولید و نگهداری غذا می باشند. حوزه فناوری نانو گزینه های زیادی را برای تولید و نگهداری مواد غذایی پیشنهاد می کند [۹]. میکروانکپسولاسیون یک فناوری نسبتاً نوین است که با سرعت بالایی در حال توسعه می باشد [۱۰]. انواع مختلف نانو حامل ها در صنایع غذایی قابلیت تولید و کاربرد دارند و شامل نانوکپسول های بر پایه بیوپلیمرها و انواع لیپید (نانو لیپوزوم ها، نانو بیوپلیزوم ها، نانوامولسیون ها و میسل های سورفاکтан ها) و ذرات نانوامولسیون ها و میسل های سورفاکتان ها) و ذرات لیپیدی جامد می باشند [۱۱]. انکپسولاسیون ترکیبات لیپوفیل ممکن است به دلایلی شامل بهبود راحی حمل و نقل و استفاده، تسهیل الحاق آن داخل فراورده، افزایش دسترسی زیستی، کنترل نرخ یا مکان آزاد شدن آن یا حفاظت از آن در برابر تجزیه شیمیایی انجام شود [۱۲]. نانوامولسیون ها (مینی امولسیون، امولسیون های ساب میکرون، امولسیون های با ذرات بسیار ریز) را می توان نوعی امولسیون متداول در نظر گرفت که حاوی قطرات فاز پراکنده بسیار ریز می باشند و شعاع ذرات در آن به طور متوسط، در محدوده ۱۰ تا ۱۰۰ نانومتر قرار می گیرند. این امولسیون های دارای یک سری مزیت هایی نسبت به امولسیون ها متداول می باشند: شفاف (تا حدی مات) می باشند؛ زیرا شعاع کوچک تر از طول موج نور می باشد [۱۳]. پایداری سینتیکی بالایی دارند و نسبت به

۱- مقدمه

امروزه در سطح دنیا تامین مواد مغذی مورد نیاز بدن، افزایش طول عمر و گنجاندن ترکیبات با کیفیت در مواد غذایی مصرفی روزانه از اهمیت زیادی برخوردار است. غذاهای فراسودمند موضوع روز مورد توجه در جهان و یکی از رو به رشدترین گروه های مواد غذایی به شمار می آیند [۱]. در حقیقت فراسودمند ها غذاهای اصلاح شده ای هستند که در ترکیب آنها علاوه بر خواص تغذیه ای سنتی، ترکیباتی افروده شده که بتواند در بهبود سلامت افراد تاثیرگذار باشد. مهمترین آنها عبارتند از: ویتامین ها، کاروتونوئیدها، آنتوکسیانین ها، فلاونوئیدها، استرون ها و اسیدهای چرب ضروری [۲] با تغییر شیوه زندگی و گرایش روز افروزن مردم به غذاهای کم چرب و یا بدون چربی و عدم رعایت تنوع در استفاده از گروه های مختلف مواد غذایی و نابودی نوتریسینیکال ها طی فرآوری و نگهداری مواد غذایی، نگرانی ها در مورد بروز بیماری های ناشی از کمبود مواد مغذی و زیست فعل آبگریز ضروری بدن رو به افزایش است. بنابراین، به منظور برآورده کردن نیاز بدن، می توان مواد غذایی کم چرب و بدون چربی را با این مواد ضروری غنی سازی کرد [۳].

اسیدهای چرب امگا سه، دسته ای از اسیدهای چرب چند غیر اشبع (معمولأً بیش از دو پیوند دوگانه) می باشند که پیش ساز بسیاری از ترکیبات ضروری در بدن هستند، اسیدهای چرب غیر اشبع دوکواهگزانوئیک اسید(DHA)، ایکوزاپتانوئیک اسید(EPA) و آلفا لینولنیک اسید(ALA) مهمترین اسیدهای چرب امگا سه محسوب می شوند [۴]. اسیدهای چرب امگا سه نقش مهمی در پیشگیری از بیماریهای قلبی - عروقی به خصوص در جمعیت های در معرض خطر دارند [۵]. بسیاری از سازمان ها در سطوح ملی و بین المللی توصیه هایی برای اسیدهای چرب امگا سه داشته اند. آزانس سلامت و ایمنی اروپا ۲۰۰-۵۰۰ میلی گرم EPA و DHA در روز را پیشنهاد می نماید. موسسه تغذیه بین المللی و برنامه سلامت فرانسه حداقل مصرف دو بار در هفته را پیشنهاد کردند. آزانس ایمنی و سلامتی در فرانسه برای سینه بالاتر از ده سال مانند زنان باردار و شیرده میزان ۵۰۰ میلی گرم EPA و DHA در روز و حداقل ۲۵۰ میلی گرم را توصیه کرده است. سازمان بهداشت جهانی (WHO) دو بار مصرف ماهی در هفته به منظور دریافت ۵۰۰ تا ۲۵۰ میلی گرم EPA و DHA در روز را توصیه نموده اند. منابع غذایی امگا سه

بدن، و کاهش سطح کلسترول خون اشاره کرد [۱۷]. غنی سازی ماست پروپوپتیک با استفاده از نانومولسیون اسانس های گیاهی به همراه اسیدهای چرب ضروری می تواند سبب کاهش خطر بیماری های مزمن مانند سرطان، پوکی استخوان، فشار خون، دیابت و بیماری های قلبی شوند [۱۸].

هدف این پژوهش، بررسی شرایط بهینه غنی سازی ماست پروپوپتیک با نانومولسیون اسانس موسیر ایرانی حامل امگا سه و ارزیابی خصوصیات فیزیکوشیمیایی و حسی آن می باشد.

۲- مواد و روش ها

روغن ماهی از شرکت داروسازی زهراوی تبریز، کازئینات سدیم، DPPH، متابل از شرکت مرک آلمان (Merck Chemical, Germany)، تؤین ۸۰ هیدروکسید سدیم، فنل فالنین، تری کلرو استیک اسید، کلروفرم، چسب نشاسته از شرکت سیگما الدریج آمریکا (Sigma Aldrich, USA) خریداری شد. اسانس موسیر از شرکت دانش بنیان عطر و طعم ماگنولیا (ایران) تهیه شد، لاکتوباسیلوس اسیدوفیلوس (La-5) از شرکت پیشگامان پخش صدیق خریداری شد و آنالیز اسانس با استفاده از دستگاه گاز کروماتوگرافی متصل به طیف سنجی جرمی (GCMS QP2010SE) شرکت SHIMADZU (ژاپن) انجام شد. آب دوبار تقطیر برای تمام نمونه ها تهیه شد. سایر مواد شیمیایی مورد استفاده با درجه آزمایشگاهی تهیه شدند.

۱-۲- روش تهیه امولسیون

سیستم امولسیون حاوی امگا سه با استفاده از روش کم انرژی تشكیل خودبه خودی امولسیون روغن در آب با اضافه کردن قطره قطره فاز روغنی (محلول امگا سه در اسانس روغنی حامل به همراه سورفاکtant تؤین) بر روی آب دیونیزه تولید شد. در حین تشكیل، امولسیون به طور مداوم توسط همزن مغناطیسی با سرعت بهینه ۸۰۰ دور بر دقیقه در دمای ۲۵ درجه سانتیگراد به مدت ۶ ساعت همزده شد. با توجه به تأثیر دما در اندازه ذرات امولسیون، از همزن مغناطیسی مجهز به سنسور تنظیم دما استفاده گردید، به این ترتیب امولسیون مورد نظر تهیه شد [۱۹].

۲-۲- اندازه گیری ترکیبات موجود در اسانس موسیر ایرانی

ترکیبات موجود در اسانس گیاهی موسیر ایرانی با دستگاه گاز کروماتوگرافی - طیف سنجی جرمی Agilent 6890، آمریکا

پدیده های تفکیک گرانشی و تجمع یافتن (ادغام) قطرات مقاومت بیشتری دارند. دسترسی زیستی ترکیبات کپسوله شده در این نوع امولسیون ها افزایش می یابد [۱۴]. یکی از مهمترین کاربردهای نانومولسیون های خوراکی در صنایع غذایی و دارویی برای انکپسولاشیون ترکیبات لیپوفیل مانند اسیدهای چرب ضروری، ویتامین های محلول در چربی، مواد عطر و طعمی، رنگ ها، مواد نگهدارنده ها و داروها هستند. از روش های مختلفی برای تولید امولسیون ها و نانومولسیون ها استفاده می شود. بطور کلی می توان به انواع کم انرژی و پر انرژی تقسیم بندی نمود [۱۵]. در روش های پر انرژی از تجهیزات مکانیکی که قادر به تولید نیروهای پاره کننده شدید و قوی هستند استفاده شود. در روش کم انرژی به طرق مختلف اعم از تغییر دادن ترکیب فازها، تغییر دادن شرایط محیطی (دمای pH، قدرت یونی) و تغییر دادن شرایط همزدن (سرعت همزدن، آهنگ اضافه کردن، ترتیب اضافه کردن فازها) می توان موفق به تولید نانومولسیون شد.

موسیر ایرانی با نام علمی آلیوم هرتوفیلیوم از خانواده ی بزرگ لاله سانان است که گونه های مهم و شناخته شده دیگری از قبیل سیر، پیازها و تره فرنگی را در بر می گیرد. گیاه موسیر علاوه بر استفاده در رژیم غذایی، دارای مصارف درمانی سنتی و غذایی نیز می باشد. این گونه گیاهی دارای خواص ضد قارچی، ضد باکتریایی، ضد ویروسی، آنتی اکسیدانی و ضد سرطانی می باشد گونه های آلیوم منابع سرشواری از فلاونوئیدها هستند که برای درمان و پیشگیری از برخی بیماری ها مثل سرطان ها، چاقی، افزایش چربی خون و انواع دیابت مفید می باشند، یکی از فراورده های غذایی پر مصرف که می تواند حاوی ترکیبات زیست فعال به منظور افزایش مقبولیت و بهبود ویژگی های تغذیه ای و دارویی باشد ماست می باشد که محصولی با سابقه طولانی و اثرات مطلوب بر سلامتی بوده و آن را به عنوان غذای فراسودمند می شناسند، به دلیل ارزش تغذیه ای بالا تاثیر مثبتی بر سلامتی انسان و اهمیت ویژه ای در رژیم غذایی افراد دارد. لاکتوباسیلوس اسیدوفیلوس و بیفیدوباکتریوم بیفیدوم به دلیل تاریخچه طولانی استفاده سالم آنها در غذا تشخیص داده شده اند. در میان انواع محصولات تخمیری شیر، ماست به عنوان حامل ایده آل برای رهایش این باکتری های پروپوپتیک برای مصرف کننده ها مورد توجه قرار گرفته است [۱۶]. از مزایای استفاده از فراورده های پروپوپتیک می توان به بهبود تعادل میکروبی معده، مهار باکتریهای پاتوژن، کاهش خطر ابتلا به سرطان روده بزرگ، بهبود سیستم ایمنی

۶-۲- اندازه گیری راندمان درون پوشانی

راندمان درون پوشانی به کمک دستگاه اسپکتروسکوپی UV-1700 Pharma Spec, SHIMADZU Corporation) در طول موج ۲۸۳ نانومتر انجام شد. مقدار امگا سه نمونه ها از طریق منحنی تهیه شده با امگا سه تعیین گردید. ابتدا نانومولسیون بمدت ۱۵ دقیقه با ۴۲۰۰ g سانترفیوژ گردید و سپس یک میلی لیتر از محلول رویی نانومولسیون ها به ۹ میلی لیتر اتیل استات اضافه گردید و بمدت ۵ دقیقه همزده شد و توسط کاغذ صافی محلول صاف شد. سپس فاز آلی شفاف جدا شده بمدت دقیقه با سرعت ۲۰۰۰ دور در دقیقه سانترفیوژ گردید و سپس با دستگاه اسپکتروسکوپی مورد آنالیز قرار گرفت. راندمان درون پوشانی از طریق مقایسه مقدار واقعی امگا سه درون ساختار نانومولسیون و مقدار واقعی امگا سه قبل از فرمولاسیون محاسبه گردید:

$$\text{مقدار واقعی امگا سه} = \frac{\text{کل مقدار امگا سه}}{\text{کل مقدار امگا سه}} \times 100\%$$

آزاد اندازه گیری شده بوسیله UV

راندمان انکپسولاسیون(%) = مقدار واقعی امگا سه / کل مقدار امگا سه *

۷-۲- اندازه گیری ویسکوزیته ظاهری نانومولسیون

برای اندازه گیری ویسکوزیته ظاهری نانومولسیون های تهیه شده از ویسکومتر بروکفیلد Brookfield DVI⁺(، آمریکا) در دمای ۲۵ درجه سانتیگراد استفاده شد [۲۴].

۸-۲- طرح آماری تولید نانومولسیون های اسانس موسیر ایرانی حاوی اسیدهای چرب امگا سه

در این تحقیق از طرح دی اپتیمال¹ (DO) با بررسی تاثیر چهار فاکتور مستقل شامل میزان امگا سه، زمان نگهداری، درصد SOR² و نوع سورفاکtant به منظور بررسی خواص فیزیکوشیمیایی و پایداری فرمولاسیون نانومولسیون های اسانس موسیر ایرانی حاوی اسیدهای چرب امگا سه مطابق جدول (۱) به تعداد ۳۲ فرمولاسیون استفاده گردید و پس از آنالیز رگرسیون و یا تعیین مدل های مناسب از روش تابع مطلوبیت عددی برای یافتن شرایط بهینه استفاده شد. سطح خطای نوع اول در این مطالعه برابر ۰/۰۵ در نظر گرفت شد. از نرم افزار Design Expert 7.1.6 جهت طراحی آزمایشی،

بصورت کمی اندازه گیری شد. این دستگاه با ستون مویینه به طول ۳۰ متر، قطر داخلی ۰/۲۵ میکرومتر و ضخامت لایه داخلی ۰/۲۵ میکرومتر با برنامه دمایی ۵۰ تا ۲۶۵ درجه سانتی گراد با سرعت ۱۵ درجه سانتی گراد در دقیقه و نگهداری ستون در ۲۶۵ درجه سانتی گراد به مدت ۳۰ دقیقه استفاده شد، دمای اتافک تزریق ۲۵۰ درجه سانتی گراد بود و از گاز هلیوم با سرعت جریان ۱/۵ میلی متر بر دقیقه استفاده شد. طیف نگار جرمی مورد استفاده Agilent 5973 با انرژی یونیزاسیون ۷۰ الکترون ولت و دمای منبع یونیزاسیون ۲۵۰ درجه سانتی گراد بود. شناسایی اجزا با مقایسه طیف جرمی آنها با طیف ترکیبات در حافظه کامپیوتر و استانداردهای معابر صورت گرفت.

۳-۲- تعیین اندازه ذرات

روش هایی که بر پایه تفرق نور کار می کنند برای تعیین اندازه ذرات بین ۰/۱ تا ۱۰۰۰ میکرومتر مورد استفاده قرار می گیرند. زمانیکه پرتوی نوری به یک سیستم کلولئیدی برخورد می کند، توسط ذرات یا قطرات پراکنده می شود. قطر متوسط ذرات در دستگاه آنالیز کننده ذرات Shimadzu DLS (ژاپن) با محدوده ۵۰ نانومتر تا ۵۰ میکرومتر تعیین گردید. این دستگاه بر اساس پراکنش نور لیزر عمل می کند. اندازه گیری ذرات پس از گذشت ۲۴ ساعت از تولید و نگهداری نمونه ها در دمای محیط (۲۵ درجه سانتی گراد) انجام شد. متوسط اندازه ذرات بر اساس قطر میانگین حجمی تعیین شد و کلیه نمونه ها در سه تکرار اندازه گیری شدند [۲۰].

۴-۲- اندازه گیری کدورت

کدورت نانومولسیون های تهیه شده با دستگاه اسپکتروفوتومتر UV-1700 Pharma Spec,Shimadzu (UV-VIS Corporation) در طول موج ۶۰۰ نانومتر اندازه گیری شد [۲۱].

۵-۲- اندازه گیری اندیس خامه ای شدن

ده میلی لیتر از نمونه تولید شده به یک لوله آزمایش انتقال داده شد و درب آن محکم بسته شد و در طی دوران نگهداری دو فاز شدن نمونه را به دو لایه یک لایه رویی (کرم) و لایه زیری (سرم) مشاهده شد. حجم و ارتفاع نمونه ها در طول دوران نگهداری اندازه گیری گردید و مطابق معادله زیر محاسبه شد [۲۲].

Creaming Index(%)=(Vt-Vs)/Vt × 100
Vs حجم کل نمونه و Vt حجم سرم میباشد.

1. D-optimal
2. Surfactant-oil-ratio

شدند، به منظور ارزیابی صحت مدل های برازش داده شده با داده های آزمایشی در شرایط بهینه تعیین شده، آزمون های مورد نظر صورت گرفته و نتایج ارزیابی کمی و کیفی آن با مقادیر پیشگویی شده توسط مدل مقایسه گردید.

تحلیل داده ها، مدل سازی، بهینه کردن پارامترها و رسم نمودارهای مربوط به روش سطح پاسخ استفاده گردید. برای نشان دادن رابطه هر یک از متغیرهایتابع در مدل رگرسیون با متغیرهای مستقل نمودارهای سطوح پاسخ و کانتورپلات ترسیم

Table 1 Matrix of the D-optimal design.

Run	Factors				Run	Factors			
	A: Omega3(%)	B: Storage Time(day)	C: SOR (%)	D:Surfactant type		A: Omega3(%)	B: Storage Time(day)	C: SOR (%)	D:Surfactant type
1	75	24.6	300	SC	17	71.25	60	10	T80:T20
2	52.75	9.26	91.4276	T80	18	25	30.5	300	T80
3	50	38.17	155	T20	19	25	1	242	SC
4	65	1	10	SC	20	25	1	10	T80:T20
5	50	38.17	155	T20	21	71.75	37.875	161.0556	T80:T20
6	75	60	300	T80	22	25	60	300	T20
7	25	60	276.8	T80:T20	23	43.60223	58.82	10	T20
8	75	30.5	10	T80	24	25	1	10	T80:T20
9	25	60	10	T80	25	75	60	10	T20
10	75	60	68	SC	26	50	38.17	155	T20
11	25	1	10	T20	27	40.95159	1	174.0415	T20
12	75	1	134.7	T80:T20	28	75	1	300	T20
13	52.75	9.26	91.4276	T80	29	25	30.5	300	T80
14	25	1	10	T80	30	47	1	300	T80:T20
15	25	36.4	10	SC	31	56.0709	54.1	300	T80:T20
16	75	1	300	T80	32	35.25	60	300	SC

گردیدند. نمونه ها در حین گرمخانه گذاری، pH آن ها به طور پیوسته کنترل گردید. پس از رسیدن pH به ۴/۶ نمونه ها به یخچال ۵ درجه سانتی گراد انتقال داده شدند.

۱۰-۲- اندازه گیری میزان ویسکوزیته ظاهري
میزان ویسکوزیته ظاهري با استفاده از ویسکومتر بروکفیلد مدل (Brookfield DVII+) ساخت آمریکا اندازه گيری شد [۲۴].

۱۱-۲- تعیین شمارش جمعیت پروبیوتیک
برای بررسی تغییرات تعداد لاکتوباسیلوس اسیدوفیلوس در نمونه های ماست بدین منظور یک گرم از هر نمونه ماست با ۹ میلی لیتر محلول پیتوون واتر (۰/۱٪) مخلوط و کاملاً یکنواخت گردید. نمونه های سوسپانسیون شده رقیق گردیده و از هر رقت، یک میلی لیتر از آن به پلیت های حاوی محیط

۹-۲- تهیه ماست پروبیوتیک غنی شده با نانومولسیون ها

برای تهیه هر تیمار، ۱ کیلوگرم شیر (۱/۵ درصد چربی) را بر روی حمام بخار قرار داده و بعد از رسیدن به دمای حدود ۴۵ درجه سانتی گراد، پودر شیر پس چرخ را به میزان ۲ درصد و طی چندین مرحله افزوده و عمل اختلاط تا حل شدن کامل انجام شد. هر کدام از تیمارها در دمای ۹۰ درجه سانتی گراد به مدت ۱۰ دقیقه پاستوریزه شده و پس از خنک شدن تا دمای ۴۰ درجه سانتی گراد، دو درصد استارتير های تجاری و یک درصد پروبیوتیک La-5 و غاظت های متفاوتی از نانومولسیون بهینه مطابق با طرح آماری به فرمولاسیون ها افروده شد و تا اختلاط کامل همزده شدند، سپس نمونه ها درب بندی شدند و به انکوباتور ۴۰ درجه سانتی گراد منتقل

نمونه بعدی را از نظر بافت، طعم، رنگ و بو مورد آزمایش قرار دادند و به هر نمونه امتیازاتی مابین ۱(فوق العاده ناخوشایند) تا ۹(فوق العاده خوشایند) دادند.

۳- طرح آماری تولید ماست پروپیوتیک حاوی نانومولسیون موسیر ایرانی حاوی اسیدهای چرب امگا سه

در مرحله تولید ماست پروپیوتیک از طرح مرکب مرکزی به کمک فرمولاسیون بهینه نانومولسیون (میزان امگا سه ۲۵ درصد، مدت زمان نگهداری ۳۵ روز، SOR ۲۶۳/۳۹) درصد و نوع سورفاکتانت توئین ۸۰) با بررسی تاثیر دو فاکتور مستقل شامل غلظت نانومولسیون افزوده شده و مدت زمان نگهداری به منظور بررسی خواص فیزیکوشیمیایی و میکروبی ماست پروپیوتیک غنی شده با نانومولسیون های بهینه موسیر ایرانی حاوی اسیدهای چرب امگا سه به تعداد ۱۲ فرمولاسیون استفاده گردید و پس از آنالیز رگرسیون و یا تعیین مدل های مناسب از روش تابع مطلوبیت عددی برای یافتن شرایط بهینه استفاده شد.

Table 2 List of experimental design

Run	Factors	
	A:Storage time(day)	B:Concentration(%)
1	11	2/5
2	11	2/5
3	21	5
4	11	0
5	1	0
6	21	0
7	11	5
8	11	2/5
9	11	2/5
10	21	2/5
11	1	5
12	1	2/5

۴- نتایج و بحث

۴-۱- آنالیز کروماتوگرافی گازی- طیف سنج جرمی اسانس موسیر ایرانی

بر اساس آنالیز اسانس موسیر ایرانی با استفاده از دستگاه GC-

کشت Oxbgall-bile٪/۱۵ MRS-Agar متغیر شد. همه پلیت ها در ۳۷ درجه سانتیگراد به مدت ۷۲ ساعت به صورت هوایی گرمانخانه گذاری شدند و سپس تعداد پرگنه ها در هر پلیت شمارش گردید [۲۵].

۱۲-۲- اندازه گیری میزان آب اندازی (سینترزیس)

در این روش حدود ۳۰-۴۰ گرم نمونه ها با دور ۲۲ g در دمای ۴ درجه سانتی گراد به مدت ۱۰ دقیقه سانتریفیوژ یخچال دار گردید و سینترزیس حاصله به صورت درصد نسبت حجم فاز مایع شفاف جدا شده بر وزن اولیه نمونه ماست محاسبه گردید [۲۶].

۱۳-۲- اندازه گیری اسیدیته

اندازه گیری اسیدیته ماست طبق استاندارد ملی ایران شماره های ۶۹۵ و ۲۸۵۲، با تیتراسیون ۱۰ گرم (۵ گرم نمونه + ۵ گرم آب مقطر) توسط محلول سود ۰/۱ نرمال و در حضور معرف فلن فتالین انجام شد [۲۷ و ۲۸].

۱۴-۲- اندازه گیری pH

اندازه گیری pH طبق استاندارد ملی ایران شماره ۲۸۵۲، در دمای ۲۵ درجه سانتی گراد با pH متر دیجیتال (۷۱۱۰ WTW آلمان) انجام شد [۲۸].

۱۵-۲- اندازه گیری اندیس پراکسید

۵ گرم نمونه در ۳۰ میلی لیتر محلول اسید استیک- کلروفرم (نسبت ۳ به ۲) با افزودن ۰/۵ میلی لیتر محلول اشباع یدید پتاسیم و پس از گذشت زمان یک دقیقه، با افزودن ۳۰ میلی لیتر آب و در حضور شناساگر نشاسته با محلول سدیم تیوسولفات ۰/۰۱ نرمال تیتر شدند [۲۹] و مطابق معادله زیر محاسبه شد.

$$\text{Peroxide index} = \frac{(N \times V \times 1000)}{M}$$

$$N = \text{نرمالیته تیوسولفات سدیم} \quad V = \text{حجم مصرفی تیوسولفات سدیم} \quad M = \text{جرم نمونه}$$

۱۶-۲- آزمون ارزیابی حسی

آزمون ارزیابی حسی، توسط ۹ نفر ارزیاب چشایی از بین ۳۰ نفر داوطلب انجام شد. در آزمون ارزیابی حسی، نمونه های رمز گذاری شده به ترتیب های مختلفی همراه با یک ورقه ارزیابی در اختیار هر ارزیاب قرار گرفت. ارزیاب ها پس از چشیدن هر نمونه، دهان خود را کاملاً با آب شسته و سپس

سولفید متیل-۲-پروپنیل (۵/۷٪) و ترکیبات کم مقدار اتیل پلارگونات، لیمونین، ترا سولفید دی-۲-پروپنیل، بوتیل بوتیرات و اتیل اکتانوئات بوده است.

mass مطابق کروماتوگرام (شکل ۱) عمدۀ ترین ترکیبات تشکیل دهنده اسانس موسیر ایرانی شامل متیل متیل تیوبوتیل دی سولفید (۱۷/۳۸٪)، دی آتیل تری سولفید (۵/۲۱٪)، متیل دی سولفید (۳۶/۱۷٪)، دی متیل تری سولفید (۶۲/۷٪)، تری

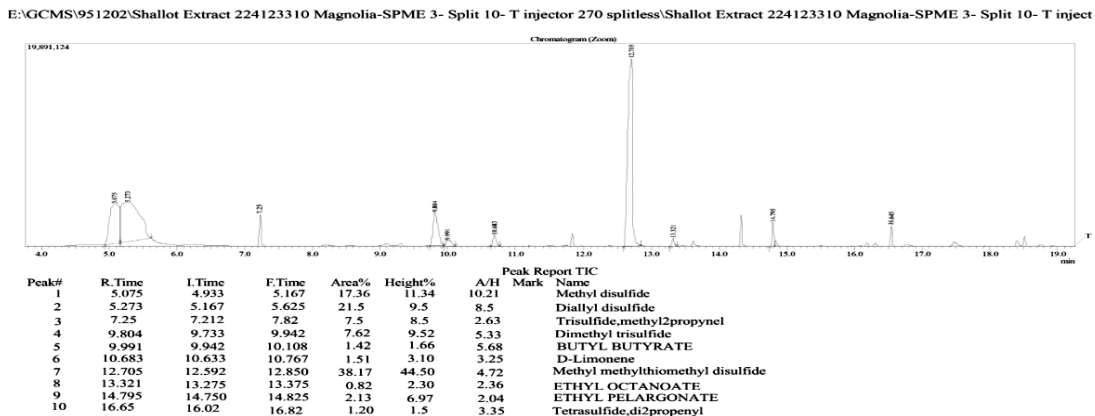


Fig 1 GC-Mass chromatogram of Iranian Shallot essential oil and chemical composition

۰/۸۰۶ و ۰/۷۵۸ بودند. به منظور اطمینان از صحّت مدل انتخاب شده مطابق آنالیز واریانس مربوطه شاخص عدم برازش (Lack of fit) معنی دار نبوده که بیانگر این است که مدل مناسب می باشد. مطابق آنالیز واریانس مربوطه اثرات خطی چهار پارامتر مستقل بر اندازه گیری میانگین قطر ذرات نانومولسیون معنی دار بودند و نوع سورفاکtant بیشترین تاثیر معنی داری بر میانگین قطر ذرات را نشان داد.

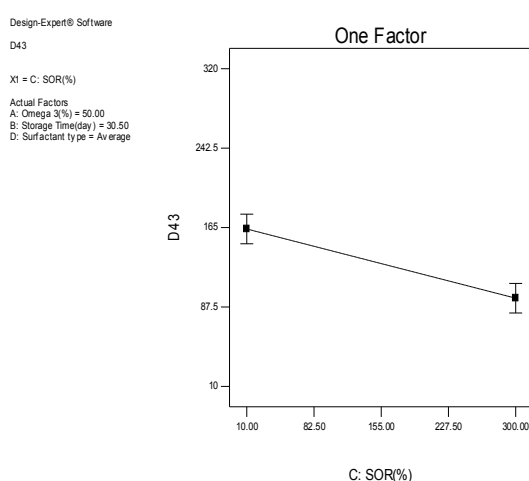


Fig 2 One-factor curve of the effect of SOR% on the D₄₃

شکل (۲) نمودار تک فاکتور مقدار SOR بر میانگین قطر ذرات در مقادیر ثابت میانی سه پارامتر مستقل را نشان می

۴-۲- اندازه گیری میانگین قطر ذرات نانومولسیون های اسانس موسیر ایرانی حاوی اسیدهای چرب امگا سه

به منظور بررسی تاثیر چهار فاکتور مستقل (میزان امگا سه، مدت زمان نگهداری، درصد SOR و نوع سورفاکtant) بر پارامتر تغییرات اندازه گیری میانگین قطر ذرات نانومولسیون اسانس موسیر ایرانی حاوی اسیدهای چرب امگا سه مدل های خطی، درجه دوم، اثرات متقابل و مکعبی برای برازش داده های حاصل از آزمایش اندازه گیری میانگین قطر ذرات مورد استفاده قرار گرفتند. در میان مدل های مذکور مدل خطی چند متغیره مطابق مدل زیر به صورت مناسبی برازش داده شد.

$$D_{43} = 129.8281631 + 16.2569854 A - 19.18796597 B - 33.769680 C + 81.4807526 D_1 + 53.52836822 D_2 + 20.89647531 D_3$$

در معادله فوق ضرائب A, B, C, D, C, B به ترتیب نشانگر مقدار امگا سه (درصد)، مدت زمان نگهداری (روز)، درصد SOR و نوع سورفاکtant می باشند. با توجه به نتایج جدول آنالیز واریانس عدد F دارای سطح معنی دار ۱۶/۶۵۱۷۲، $P < 0.0001$ ، ضرائب تبیین و تبیین اصلاح شده به ترتیب

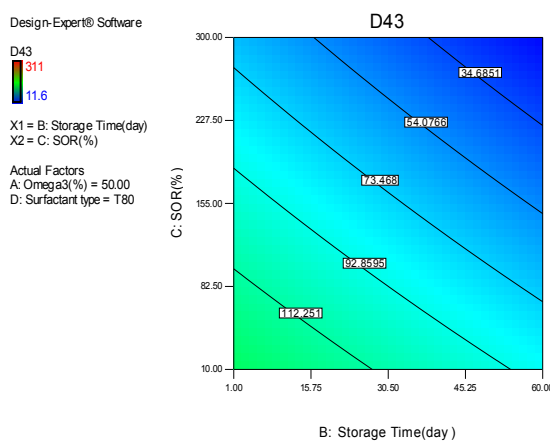


Fig 3 Two-dimensional Contour-Plot of storage time and SOR % on D₄₃

همچنین افزایش همزمان در مقدار سورفاکتانت و مدت نگهداری نیز باعث کاهش در اندازه ذرات گردید (شکل ۳)، کاهش اندازه ذرات در طول مدت زمان نگهداری برخلاف برخی نتایج حاصل از تحقیقات قبلی بود [۲۴]. کاهش میانگین قطر ذرات با گذشت مدت زمان نگهداری، پدیده Solubilization یا کاهش اندازه حل شده نامیده شده است. از ابتدا در محیط، میسل های سورفاکتانت حضور داشته اند، این میسل ها به سطح قطرات روغن نزدیک شده و مولکول های روغن را که به سطح قطرات متصل شده، گرفته و به قطرات دیگر متصل می کنند [۲۵].

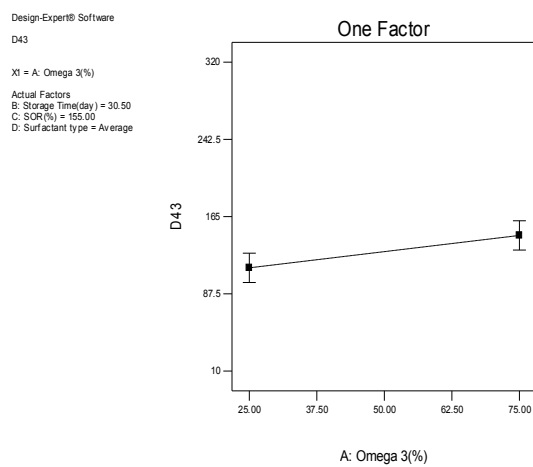


Fig 4 One-factor curve of Omega3% on the D₄₃

به بیان دیگر، با گذشت مدت زمان نگهداری، سورفاکتانت های موجود در توده، بخشی از مولکول های موجود در سطح قطرات را جذب می کنند و قطرک های جدیدی می سازند. در پژوهش انجام شده توسط نیز کرستونسیک و همکاران (۲۰۰۹) مشاهده شد که در مدت نگهداری، قطر قطرات در امولسیون

دهد. همانطورکه مشاهده می شود با افزایش مقدار SOR غاظت سورفاکتانت، میانگین قطر ذرات نانوامولسیون ها بطرور معنی داری کاهش یافت. افزایش در مقدار SOR، وجود سورفاکتانت کافی برای پوشاندن کامل سطح ذرات روغن - آب را فراهم نموده است و باعث کاهش کشش سطحی و تولید ذرات ریزتر گردید و با ایجاد ممانعت فضایی و دافعه الکتروستاتیک بالا، از افزایش اندازه ذرات و آمیختن ذرات ممانعت به عمل آمد. این نتیجه با نتایج بوچمال و همکاران (۲۰۰۴)؛ کبری و همکاران (۲۰۱۱)؛ کومایکو و مک کلمتنز (۲۰۱۵) و تیان و همکاران (۲۰۱۶) مطابقت داشت [۳۰-۳۳]. همچنین در مقادیر کمتر SOR، غاظت سورفاکتانت برای پوشاندن کامل و اشباع شدن سطح ذرات کافی نبود و نواحی از سطح ذرات فاقد سورفاکتانت بودند، با توجه به اینکه ذرات دارای حرکت براونی (حرکت تصادفی) بوده و تمایل دارند بطور تصادفی در سرتاسر سیستم پراکنده شوند، این ذرات در حین حرکت بطور مکرر با ذرات مجاور خود برخورد کرده و اگر در حین برخورد مناطق تھی از سورفاکتانت در مجاور هم قرار بگیرند، امکان اتصال و افزایش در اندازه ذرات را سبب می شود. اما در صورت اشباع شدن کامل سطح ذرات در صورت برخورد به یکدیگر به علت داشتن یک سد فیزیکی از سورفاکتانت ها بر سطح ذرات، انرژی دفعی از افزایش اندازه ذرات جلوگیری بعمل می آورد. صابری و همکاران (۲۰۱۳) در تولید نانوامولسیون ویتامین E استات به روش خودبخوردی نیز دریافتند که با افزایش غاظت سورفاکتانت (SER) از ۱۰ درصد به ۱۷/۵ درصد اندازه قطرات نانوامولسیون از ۱۶۵ نانومتر به ۵۵ نانومتر افزایش یافت. آنها نتیجه گرفتند که افزایش غاظت سورفاکتانت در نانوامولسیون ها سبب افزایش میزان جذب سورفاکتانت به سطح W/O، کاهش بیشتر کشش سطحی و در نهایت اندازه ذرات ریزتر گردید [۲۰].

والکر و همکاران (۲۰۱۵) همچنین نتیجه گرفتند که اندازه ذرات وابستگی زیادی به غاظت سورفاکتانت داشتند، نانوامولسیون های روغن ماهی در ۱/۷۵-۱/۲۵ SOR، ذرات کوچک تر با توزیع اندازه باریک تر تشکیل دادند. در SOR های بالاتر ها توزیع ذرات تک مدلی بودند [۳۴].

به توزیع اندازه ذرات باریک تر شد و با افزایش در غلظت روغن ماهی اندازه ذرات افزایش داشت [۴۲].

۴- اندازه گیری تغییرات کدورت

نانومولسیون های اسانس موسیر ایرانی حاوی اسیدهای چرب امگا سه

پخش نور توسط قطرات امولسیون میزان کدورت امولسیون را تعیین می کند. ویژگی های نوری نانومولسیون توسط جذب نوری در طول موج 600 ± 85 نانومتر اندازه گیری می شود. آنالیز داده های آزمایش نشان داد که تغییرات میزان کدورت در نمونه های نانومولسیون اسانس موسیر ایرانی حاوی اسیدهای چرب امگا سه را می توان با معادله زیر توصیف کرد.

$$\text{Turbidity} = 0.874946482 - 0.032385806 B - 0.209065941 C + 0.592706936 D_1 - 0.335339173 D_2 + 0.007064858 D_3 - 0.3818333567 CD_1 + 0.013730415 CD_2 + 0.18481977 CD_3 - 0.189487662 B^2 - 0.19805145 C^2$$

در معادله فوق ضرائب A, B, C, D به ترتیب نشانگر مقدار امگا سه (درصد)، مدت زمان نگهداری (روز)، درصد SOR و نوع سورفاکtant می باشند. بر اساس جدول آنالیز واریانس اندازه گیری کدورت، در این مدل F-value معادل $16/509$ (سطح معنی دار)، $P < 0.001$ ، ضرائب تبیین و تبیین اصلاح شده $887/0$ و $833/0$ می باشند و Lack of fit (عدم برازش) این مدل غیر معنی دار می باشد. بنابراین نتایج نشان می دهند که مدل نهایی بدست آمده، کارآمد بوده و قادر است بطور رضایت بخشی تغییرات ویژگی های مورد آزمون را توجیه کند و در مراحل بعدی پیشگویی و بهینه سازی بعنوان یک شاخص اصلی مورد استفاده قرار گیرد.

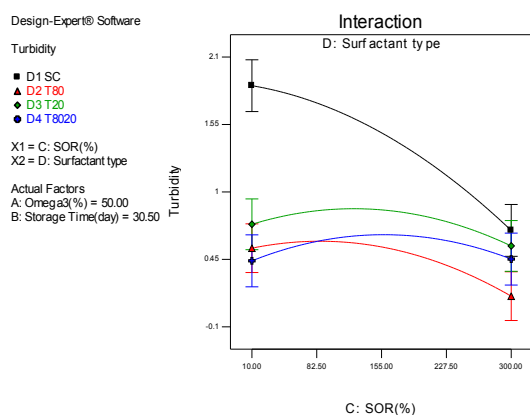


Fig 5 Interaction curve of turbidity as a function of SOR% and type of surfactant

همچنین در شکل (۵) نشان داده شد که در اکثر فرمولاتیون ها

مونو دیسپرس به سمت تولید قطرات ریزتر تغییر پیدا کرد [۳۶]. لی و همکاران (۲۰۱۶) بیان کردند که در طی نگهداری، بیopolymer کیتوزان نظم دوباره گرفته است و اندازه ذرات کاهش می باید [۳۷].

شکل (۴) تاثیر مقدار امگا سه بر میانگین قطر ذرات در مقادیر میانی ثابت سه پارامتر مستقل دیگر ذرات را نشان می دهد. با افزایش غلظت امگا سه میانگین قطر ذرات نانومولسیون اسانس موسیر ایرانی حاوی اسیدهای چرب امگا سه افزایش (160 ± 85) نانومتر یافت. بر اساس نتایج پژوهش های لی و همکاران (۲۰۱۵) استفاده از روغن ماهی به تنهایی بعلت ویسکوزیته و کشش سطحی بیشتر نسبت به در ترکیب با اسانس ها، باعث می گردد که نانومولسیون بسختی تشکیل گردد، بنابراین بکارگیری توام با اسانس سبب تولید آسانتر نانو ذرات می شود در نتیجه افزایش مقدار امگا سه میزان ویسکوزیته و کشش سطحی بیشتر شده و اندازه ذرات بیشتر می شود [۳۸]. از طرف دیگر استفاده از اسانس های گیاهی در نانومولسیون روغن ماهی به منظور پوشاندن عطر و طعم نامطلوب بود، اما به علت محلولیت آبی، امکان وقوع پدیده رسیدگی استوارد وجود داشت، اما با مخلوط کردن مقدار معینی از اسانس های گیاهی با روغن ماهی به عنوان بازدارنده رسیدگی استوارد توانست این پدیده را به تعویق بیندازد. در تایید این نتایج صابری و همکاران (۲۰۱۴) گزارش نمودند که کمترین ویسکوزیته و کشش سطحی مربوط به اسانس های روغنی MCT و سپس روغن ماهی می باشد و افزایش در اندازه ذرات در نانومولسیون های حاوی روغن ماهی به تنهایی در مقایسه با نانومولسیون مخلوط روغن ماهی / اسانس لیمو مشاهده شد [۳۵]. افزایش در مقدار امگا سه به معنای افزایش در ترکیبات با وزن مولکولی بالاتر مانند تری گلیسیریدهای موجود در روغن ماهی در مقایسه با ترکیبات با وزن مولکولی کمتر اسانس بود، بنابراین سورفاکtant ها از توانایی کافی جهت پوشش کامل سطح ترکیبات با وزن مولکولی بالاتر برخور دار نیستند. این نتایج با پژوهش توپز و همکاران (۲۰۱۶) مطابقت داشت [۴۰]، محمدی و همکاران (۲۰۱۶) نیز افزایش اندازه ذرات با افزایش مقدار روغن زیتون را گزارش نمودند [۴۱]. گلوتا و همکاران (۲۰۱۴) ضمن بررسی نانومولسیون روغن ماهی با اسانس لیمو و تری گلیسیرید های متوجه زنجیر نتیجه گرفتند که، غلظت کمتر روغن ماهی منجر

۴- اندازه گیری راندمان درون پوشانی نانومولسیون اسانس موسیر ایرانی حاوی اسیدهای چرب امگا سه

آنالیز داده های آزمایش نشان داد که تغییرات راندمان درون پوشانی در نمونه های نانومولسیون اسانس موسیر ایرانی حاوی اسیدهای چرب امگا سه را می توان با معادله زیر توصیف کرد.

$$\text{Encapsulation Efficiency(%)} = 77.96555489 + 0.487290136 A + 4.299379927 C - 7.443909122 D_1 + 4.2657415042 D_2 - 0.286371369 D_3 + 3.516814174 AB + 3.6735185 AC - 2.460457422 AD_1 + 4.280249425 AD_2 - 1.170527672 AD_3 - 2.605453954 BC - 0.300114916 CD_1 + 0.810430638 CD_2 + 4.160500924 CD_3 - 8.203480592 A^2 - 5.523429726 C^2$$

در معادله فوق ضرائب A, B, C, D به ترتیب نشانگر مقدار امگا سه (درصد)، مدت زمان نگهداری (روز)، درصد SOR و نوع سورفاکتانت می باشند. با توجه به جداول آنالیز واریانس راندمان درون پوشانی ذرات نانومولسیون، مدل نهایی دارای سطح معنی دار ($P < 0.0001$) Lack of Fit (عدم برازش) غیر معنی دار می باشد. ضرائب تبیین و تبیین اصلاح شده به ترتیب 0.886 ± 0.0750 و 0.852 ± 0.0500 بودند. نتایج حاصل از این تست ها نشان می دهد که مدل نهایی ارائه شده کارآمد بوده و قادر است به طور رضایت بخش راندمان درون پوشانی را در نمونه ها توجیه نماید.

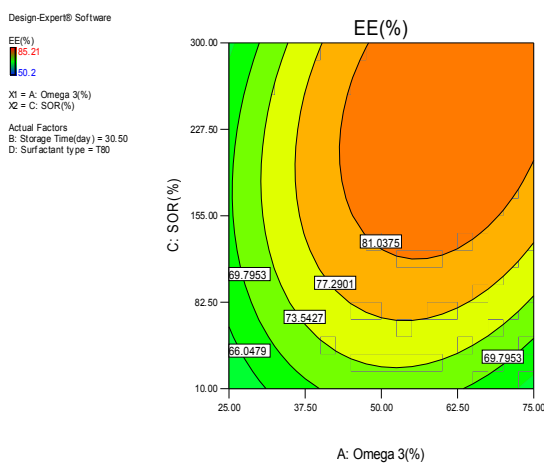


Fig 7 Two-dimensional Contour-Plot of SOR % and omega3% on EE(%)

شکل (۷) کانتورپلات دو بعدی مقدار SOR و مقدار امگا سه در مقادیر ثابت مدت زمان نگهداری ۳۰ روز و سورفاکtant

با افزایش غلظت سورفاکtant، میزان کدورت کاهش یافت، اگر چه تغییرات در حضور سورفاکtant های ریز مولکولی چندان معنی دار نبود، دلیل اصلی کاهش کدورت با افزایش مقدار SOR، کاهش در میانگین قطر ذرات می باشد، بویژه در نمونه های حاوی سورفاکtant کازئینات سدیم با افزایش مقدار سورفاکtant میانگین قطر ذرات کاهش داشته و پراکنش نوری در قطرات ریزتر کمتر خواهد بود، این نتیجه با نتایج آزمون اندازه گیری میانگین قطر ذرات مطابقت داشت، همچنین بر اساس تحقیقات رائو و مک کلمتزر (۲۰۱۲)، کاهش میزان کدورت نانومولسیون ها را با افزایش غلظت سورفاکtant ها را گزارش نمودند [۴۳].

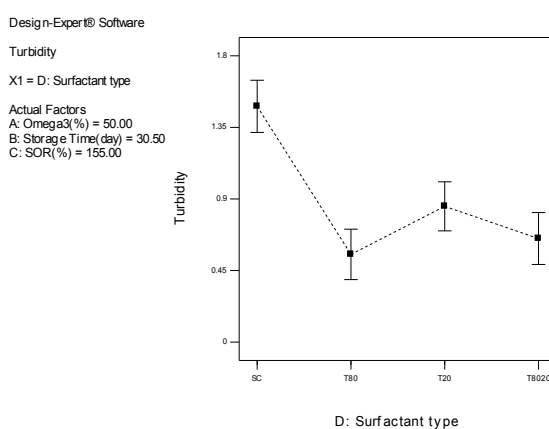


Fig 6 The single factor curve of surfactant type on Turbidity

همانطور که در شکل (۶) مشاهده می گردد، کمترین میزان کدورت مربوط به نمونه های حاوی سورفاکtant های ریزمولکولی به ویژه توئین ۸۰ و مخلوط توئین ها در مقایسه با سورفاکtant بیopolymerی کازئینات سدیم بود، زیرا مطابق نتایج آنالیز میانگین قطر ذرات، نمونه های حاوی سورفاکtant توئین ۸۰ کمترین اندازه ذرات را داشتند و با کاهش اندازه ذرات پراکنش نوری کمتر گردیده و در نتیجه میزان کدورت کاهش یافت. در فرمولاسیون های حاوی سورفاکtant کازئینات سدیم میانگین قطر ذرات بیشتر از سایر فرمولاسیون ها بوده و در نتیجه کدورت نمونه ها افزایش داشت. این نتیجه با نتایج دیگر محققین لی و مک کلمتزر (۲۰۱۰) مطابقت داشت [۴۴]. لی و همکاران (۲۰۱۴)، در بررسی نانومولسیون کورکومین نامحلول در آب نتیجه گرفتند که در حضور سورفاکtant توئین ۸۰ کدورت کاهش داشت [۴۵].

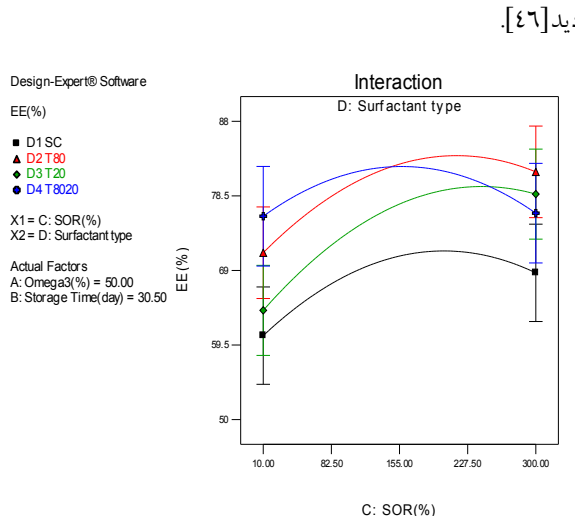


Fig 8 Interaction curve of EE as a function of SOR % and type of surfactant

مطابق شکل (۸) مشاهده می شود که افزایش درصد سورفاکتانت در تمامی فرمولاسیون ها، میزان راندمان درون پوشانی ابتداء، روند افزایشی و سپس کاهش جزئی داشت. بیشترین میزان راندمان مربوط به نمونه های حاوی سورفاکتانت های تؤین ۸۰ و مخلوط تؤین ها بود، با افزایش مقدار سورفاکتانت میزان ترکیبات بیوакتیو درون ساختار بیشتر حفظ گردید، اما به دلیل عدم انعطاف پذیری تؤین ۲۰ در سطح ذرات احتمال خروج ترکیبات از ساختار نانومولاسیون نسبت به سایر فرمولاسیون ها بود. از طرفی بر اساس نتایج آنالیز میانگین قطر ذرات، هر چه ذرات کوچکتر باشند، پایداری آنها و نگهداری ترکیبات موثر بیشتر خواهد بود و نمونه های حاوی سورفاکتانت های تؤین ۸۰ و مخلوط تؤین ها ذراتی با اندازه کوچکتر تولید کرده، در نتیجه راندمان درون پوشانی آن نمونه ها بیشتر بود، میزان راندمان درون پوشانی در نانومولاسیون های تهیه شده با تؤین ها بود، زیرا برهمکنش سورفاکتانت کازئینات سدیم با انسانس موسیر ایرانی کافی نبوده و میزان راندمان درون پوشانی کاهش داشت. فراسکارلی و همکاران (۲۰۱۲) نیز گزارش نمودند ذرات کوچکتر در امولاسیون بیشتر توزیع شده و سبب افزایش راندمان انکپسولاسیون می گردد [۴۷]. سوتیتاناتوات و همکاران (۲۰۰۳) گزارش نمودند، افزایش اندازه ذرات باعث افزایش روغن سطحی گردید و کاهش نگهداری دی لیموئین می گردد [۴۸].

تؤین ۸۰ بر راندمان درون پوشانی را نشان می دهد. میزان امگا سه تاثیر معنی داری بر راندمان درون پوشانی نداشت، در مقادیر کم میزان امگا سه، افزایش مقدار SOR تاثیری در روند راندمان درون پوشانی نداشت، ولی با افزایش همزمان میزان امگا سه و مقدار SOR راندمان درون پوشانی افزایش داشت، در حالیکه افزایش مقدار SOR در مقادیر بالای امگا سه راندمان درون پوشانی تغییر معنی داری نشان نداد. بیشترین میزان راندمان درون پوشانی در SOR بالای ۱۵۵ درصد و مقدار امگا سه بیشتر از ۵۰ درصد مشاهده شد، بدلیل این که افزایش غلظت سورفاکتانت سطح ذرات را بخوبی پوشانده، از تجمع، هم آمیختگی و نشت اسیدهای چرب به فاز پیوسته جلوگیری می کند. به عبارتی تمایل بخش آبگریز سورفاکتانت به فاز چربی تعیین کننده سرعت عمل آنهاست، تری گلیسیریدهای موجود در روغن ماهی نسبت به ترکیبات موجود در انسان ها آبگریزتر بوده و باابراین حرک سورفاکتانت روى سطح آنها و پوشاندن قطرات بیشتر شده، در نتیجه فاز پراکنده آزاد کمتر می گردد و به عبارت دیگر سورفاکتانت ها با مقدار امگا سه بیشتری پیوند برقرار کرده و باعث افزایش راندمان درون پوشانی می گردد و همچنین به دلیل ماهیت چربی دوستی اسیدهای چرب امگا سه در فاز چربی و یا انسان های گیاهی مانند انسان موسیر ایرانی سبب افزایش حلالیت اسیدهای چرب در فاز چربی گردیده و باعث افزایش راندمان درون پوشانی و پایداری شیمیابی بالاتر در برابر هیدرولیز و اکسیداسیون می گردد. البته قابل ذکر است افزایش راندمان دلیلی بر کاهش اندازه ذرات نیست و در مواردی حتی افزایش راندمان درون پوشانی با افزایش اندازه ذرات همراه بود، در ارتباط با اندازه ذرات، با افزایش مقدار امگا سه، افزایش در اندازه ذرات مشاهده شد، در حالیکه نتایج راندمان درون پوشانی نیز روند افزایشی نشان داد، که علت برهمکنش مثبت میان سورفاکتانت ها با خاصیت آبگریزی بیشتر و امگا سه می باشد که میزان امگا سه بیشتری در ساختار حفظ کرده و تا حدودی می تواند سبب افزایش اندازه ذرات نیز گردد. در غلظت های بالاتر امگا سه بدلیل وقوع پدیده های ابیوهش و ادغام می توان سبب نشت امگا سه به بیرون گردد و راندمان کاهش یابد. سیلوا و همکاران (۲۰۱۵) نیز بیان کردند که در میکروانکپسولاسیون لیکوپن با روش کواسرواسیون پکتین-ژلاتین، افزایش غلظت لیکوپن باعث افزایش راندمان

حاوی سورفاکتانت های توئین ۲۰ و مخلوط توئین ۸۰ تا SOR ۱۵۵ درصد) افزایش و سپس در SOR های بالاتر کاهش یافت، ولی فرمولاسیون های حاوی سورفاکتانت های توئین ۸۰ و کازئینات سدیم، با افزایش غلظت سورفاکتانت تا SOR ۱۵۵ درصد) درصد میزان خامه ای شدن ثابت بود و با افزایش بیشتر میزان سورفاکتانت اندیس خامه ای شدن کاهش نشان داد. به عبارتی، پایداری بالاتر نانومولسیون در برابر پدیده انبوهش بدلیل قطر کوچک آنها بود، زیرا کاهش قدرت نیروی جاذبه نسبت به نیروی دافعه میان سطح ذرات نانومولسیون، متناسب با کاهش در میانگین قطر ذرات بود، مطابق قانون استوک، با کاهش در اندازه ذرات آهنگ صعود ذرات به سطح نمونه ها کاهش می یابد. بنابراین نمونه های حاوی سورفاکتانت توئین ۸۰ نسبت به سورفاکتانت های دیگر قادر به تولید ذراتی با قطر کوچکتر بوده بصورت یکنواختی در کل سیستم پراکنده شدند و در نتیجه میزان خامه ای شدن کاهش یافت. از سوی دیگر، میزان راندمان درون پوشانی با افزایش غلظت سورفاکتانت افزایش داشت، که بیانگر میزان کمتر اسیدهای چرب آزاد در محیط و کاهش در اندیس خامه ای شدن بود، این نتیجه با نتایج کارتیکا و آناندراماکریشتا (۲۰۱۶) مطابقت داشت، آنها گزارش نمودند که کاهش در اندازه ذرات منجر به کاهش اندیس خامه ای شدن و افزایش ثبات نانومولسیون های روغن جلبک گردیده است [۴۹].

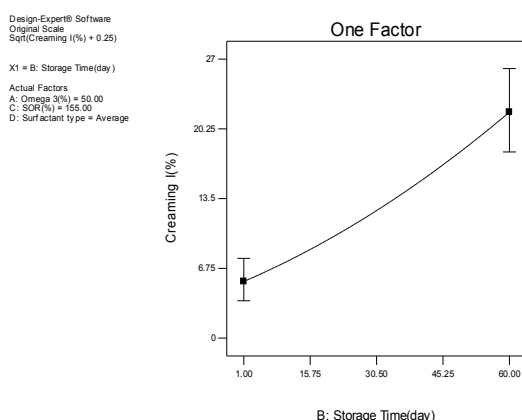


Fig 10 The single factor curve of storage time on creaming index

مطابق شکل (۱۰) در مدت زمان نگهداری میزان خامه ای شدن روند صعودی نشان داد. افزایش در اندیس خامه ای شدن توسط مکانیسم های مختلف انبوهش، هم آمیختگی و رسیدگی استوالد توصیف می شود. اگرچه اندازه ذرات در طی مدت زمان نگهداری کاهش داشت، اما بدلیل وجود ذراتی با

۴-۵-اندازه گیری تغییرات اندیس خامه ای شدن نانومولسیون های اسانس موسیر ایرانی حاوی اسیدهای چرب امگا سه

اندیس خامه ای شدن از طریق اندازه گیری ارتفاع لایه خامه ای کدر رنگ بر سطح محلول و دو فاز شدن بر سطح نمونه ها تعیین می شود. آنالیز داده های آزمایش نشان داد که تغییرات اندیس خامه ای شدن در نمونه های نانومولسیون اسانس موسیر ایرانی حاوی اسیدهای چرب امگا سه را می توان با معادله زیر توصیف کرد.

$$\text{Sqrt(creaming I(%))+0.25} = 3.548137658 + 0.516605596A + 1.154602233 B - 0.5759735 C - 0.056359561D_1 - 0.2823265D_2 + 0.0109573815 D_3 - 0.733050515 AD_1 - 0.021803485 AD_2 + 0.380040322AD_3 - 0.944084195CD_1 - 0.345101935CD_2 + 0.514364401CD_3 - 0.973684008C^2$$

در معادله فوق ضرائب A، B، C، D به ترتیب نشانگر مقدار امگا سه (درصد)، مدت زمان نگهداری (روز)، درصد SOR و نوع سورفاکتانت می باشند. با توجه به جداول آنالیز واریانس میزان اندیس خامه ای شدن ذرات نانومولسیون، مدل نهایی دارای Lack of Fit P-value معادل ۱۲،۰/۰۰۰۱ (عدم F-value) و تریک ۰/۸۹۶ و ۰/۸۲۰ می باشند. نتایج حاصل از این تست ها نشان می دهد، مدل نهایی ارائه شده کارآمد بوده و قادر است، به طور رضایت بخش مقدار خامه ای شدن را در نمونه ها توجیه نماید.

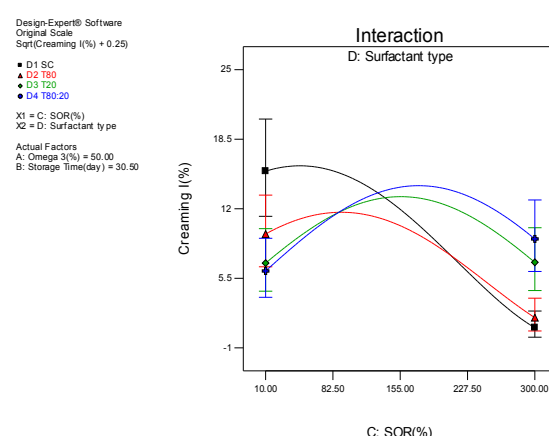


Fig 9 Interaction curve of creaming index as a function of SOR % and type of surfactant همانطور که در شکل (۹) نشان داده شده است، با افزایش مقدار SOR، میزان اندیس خامه ای شدن در فرمولاسیون های

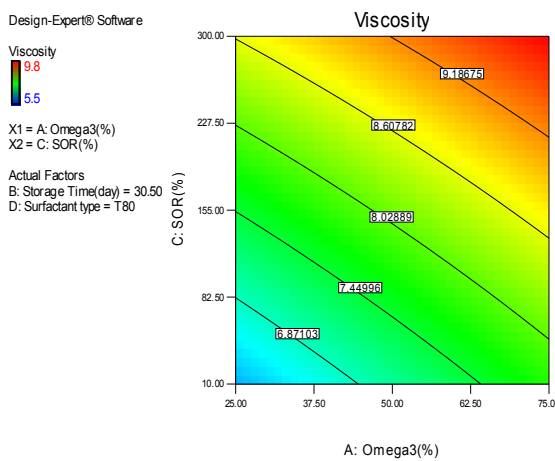


Fig 11 Two-dimensional Contour-Plot of omega3% and SOR % on viscosity

همچنین افزایش میزان برخورد قطرات به یکدیگر سبب افزایش ویسکوزیته فاز پیوسته می‌گردد، این نتایج با نتایج اندازه گیری میانگین قطر ذرات و کدورت همخوانی دارد، به عبارتی با کاهش در اندازه ذرات در حضور غلاظت‌های بیشتر سورفاکتانت، حرکت براونی ذرات بر نیروهای جاذبه غالبه کرده و سبب افزایش ویسکوزیته می‌گردد این نتایج با نتایج پژوهش لی و همکاران (۲۰۱۴) و لیانگ و همکاران (۲۰۱۵) نیز مطابقت داشت [۵۱ و ۵۲]. ماهر و همکاران (۲۰۱۵) نتیجه گرفتند، با افزایش غلاظت پروتئین بتا کازئین، ویسکوزیته نانومولسیون‌ها افزایش نشان داد که علت را افزایش برهمکنش پروتئین-پروتئین در فاز پیوسته می‌داند [۵۳]. چیونگ و همکاران (۲۰۱۶) بیان کردند که نانومولسیون روغن کاف با بیشترین مقدار سورفاکتانت کازئینات سدیم بیشترین میزان ویسکوزیته را داشت [۵۴].

۴- بهینه سازی اجزای تشکیل دهنده

نانومولسیون

به منظور بهینه سازی پاسخ‌های موثر در تولید نانومولسیون حاوی اسیدهای چرب امگا سه مطلوبیت استفاده شد. در روش تابع مطلوبیت، مطلوبیت آماری بین صفر و یک است و سطح پایین آن نشان دهنده عدم دستیابی به هدف مورد نظر می‌باشد و سطح بالای آن نشان دهنده برآورده شدن کامل هدف مورد نظر می‌باشد. وقتی هدف، بهینه سازی چندین پاسخ به طور همزمان باشد، مطلوبیت هر یک از پاسخ‌ها تعیین شده و میانگین هندسی آن‌ها به عنوان شاخص برآورده شدن همزمان هدف‌ها مورد استفاده قرار می‌گیرد. شرایط بهینه برای

اندازه‌های ناهمگون و وجود مناطق بدون سورفاکtant احتمالی بر سطح ذرات بود، که در اثر حرکات تصادفی ذرات با همدیگر تصادم کرده، مناطق تهی از سورفاکtant به همدیگر متصل شده و پدیده انبوهش در طی مدت زمان نگهداری صورت می‌گیرد. البته پدیده انبوهش که نوعی توده ای شدن برگشت پذیر بوده که با وارد کردن مقدار کم انرژی، مانند تکان دادن بازگرداندن ذرات امکان پذیر می‌باشد نسبت داده شود. مطابق با پژوهش گورا-رزا و همکاران (۲۰۱۶) نیز نتیجه گرفتند، با گذشت مدت زمان نگهداری، اندازه ذرات پونه و آویشن افزایش داشتند که علت پدیده رسیدگی استوالد بود، زیرا ترکیبات کاراکرول موجود در اسانس‌ها محلولیت آبی بسیار بالایی داشتند [۵۰].

۴-۶- ویسکوزیته ظاهری نانومولسیون اسانس

موسیر ایرانی حاوی اسیدهای چرب امگا سه

اندازه گیری ویسکوزیته یک پارامتر بسیار مهم در تعیین خصوصیات فیزیکوشیمیایی دیسپرسیون‌های کلوفیدی می‌باشد، معمولاً ویسکوزیته نانومولسیون‌ها و میکرونانومولسیون‌ها بزرگتر از امولسیون‌های معمولی هستند، چون لایه سطحی بزرگتر در اطراف ذرات کوچکتر احاطه شده است. آنالیز داده‌های آزمایش نشان داد که تغییرات ویسکوزیته ظاهری در نمونه‌های نانومولسیون اسانس موسیر ایرانی حاوی اسیدهای چرب امگا سه را می‌توان با معادله زیر توصیف کرد.

$$\text{Viscosity}(\text{cp}) =$$

$$8.08 + 0.17B + 1.09C + 0.41D_1 + 0.33D_2 - 0.022D_3$$

در معادله فوق ضرائب A، B، C، D به ترتیب نشانگر مقدار امگا سه (درصد)، مدت زمان نگهداری (روز)، درصد SOR و نوع سورفاکtant می‌باشند. ضرایب تبیین و تبیین اصلاح شده به ترتیب $\frac{1}{781}$ و $\frac{1}{730}$ بودند. به منظور اطمینان از صحت مدل انتخاب شده مطابق جدول آنالیز واریانس مربوطه شاخص عدم برازش (Lack of fit) (معنی دار نبوده که بیانگر این است که مدل مناسب می‌باشد).

شکل (۱۱) نشان می‌دهد، با افزایش در مقدار SOR و مقدار امگا سه، ویسکوزیته ظاهری بطور معنی داری افزایش یافت. در حقیقت، با افزایش مقدار فاز روغنی و سورفاکtant، فراکسیون حجمی ذرات بالاتر رفته و سبب افزایش ضخامت لایه بین سطحی باعث افزایش ویسکوزیته ظاهری می‌گردد، سرعت حرکت فاز پراکنده به سطوح بالایی را کاهش می‌دهد.

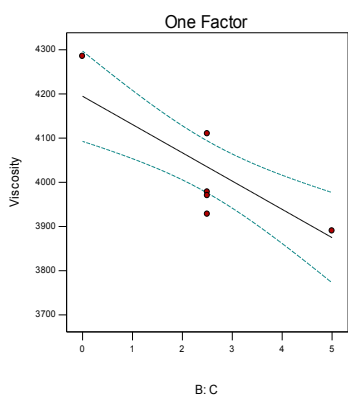


Fig 12 The single factor curve of NE concentration on Viscosity of probiotic yogurt

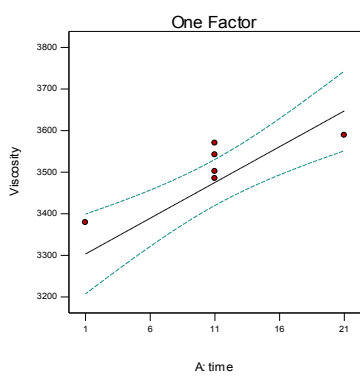


Fig 13 The single factor curve of storage time of NE on Viscosity of probiotic yogurt

با افزایش غلظت نانومولسیون افزوده شده به ساختار ماست میزان ویسکوزیته ظاهري کاهش یافت (شکل ۱۲)، که علت اصلی افزوده شدن مقداری آب به فرمولاسیون ماست می باشد. به نظر میرسد، افزایش میزان نانومولسیون های به نمونه های ماست به علت تاثیر بر روی آنزیم های پروتولیتیکی و تخریب شبکه پروتئینی بر روی کاهش ویسکوزیته آن تاثیر معنی داری داشت. میانگین ویسکوزیته ظاهري در ماست های غنی شده با نانومولسیون اسانس موسیر ایرانی ($410/851$ سانتی پواز) بود. آلفارو (۲۰۱۲) گزارش نمود که ویسکوزیته ماست منجمد محتوى نانومولسیون روغن سبوس برنج ارغوانی، مشابه نمونه های کترول بود و تفاوت معنی داری با ویسکوزیته ماست معمولی نداشت [۵۵]. همانطور که در شکل (۱۳) نشان داده شده است، میزان ویسکوزیته ظاهري نمونه های ماست پروبیوتیک حاوي نانومولسیون ها در طول مدت زمان نگهداري افزایش یافت، علت افزایش در ویسکوزیته ظاهري در طی مدت زمان نگهداري، افزایش برهمنکنش های

تک تک پاسخ ها را نمی توان به عنوان الگوي مناسب در نظر گرفت. زيرا شرایط بهينه برای يك پاسخ، ممکن است برای پاسخ ديگر شرایط نامساعدی ايجاد کند. بنابراین باید شرایطي را به عنوان الگوي ساخت معرفی کرد که تا حد امكان تمامی پاسخ ها را به نحو رضایت بخشی بهينه نماید به منظور بهينه سازی تقام، ابتدا اهداف بهينه سازی مشخص گردید. يعني پارامترهای ميانگين قطر ذرات ، شاخص کدورت، انديس خامه ای شدن، ويسکوزيته ظاهري در كمينه و راندمان درون پوشاني در بيسينه در نظر گرفته شدند، نتایج حاصل از بهينه سازی در نرم افزار Design Expert با استفاده از بهينه سازی عددی به ترتيب، ميزان امگا سه ۲۵ درصد، مدت زمان نگهداري ۳۵ روز، SOR (۲۶۳/۳۹) درصد و نوع سورفاكتانت توئين ۸۰ تعیین شدند و بعنوان فرمولاسیون بهينه در توليد ماست پروبیوتیک استفاده گردید، پاسخ های بهينه شامل، ميانگين قطر ذرات (۴۵/۳۳ نانومتر)، انديس پراکسید (۸۷/۰ میلی اکی والان بر کیلوگرم روغن)، انديس خامه ای شدن (۶/۸۷ درصد)، کدورت (۰/۳۳) و ويسکوزيته ظاهري (۶/۸۵) با مطلوبیت ۰/۸ تخمین زده شد.

۴-۸- تغييرات ويسکوزيته ظاهري ماست

پروبیوتیک غنی شده با نانومولسیون

آنالیز داده های آزمایش نشان داد که مقدار ويسکوزيته ظاهري در نمونه های ماست پروبیوتیک موسیر ایرانی بصورت زیر توصیف کرد.

$$\text{Viscosity(cp)} = 4034.833 - 160B$$

در معادله فوق ضريب B نشانگر غلظت نانومولسیون می باشد. با توجه به جداول آنالیز واریانس ويسکوزيته ظاهري، Lack of Fit.P < 0.0001 دارای سطح معنی دار است. مدل نهایی دارای ضرائب تبیین و تبیین اصلاح شده موسیر ایرانی غیر معنی دار، ضرائب تبیین و تبیین اصلاح شده موسیر ایرانی به ترتیب $0.62/0.65$ می باشند. نتایج حاصل از این تست ها نشان می دهد که مدل نهایی ارائه شده کارآمد بوده و قادر است، به طور رضایت بخش مقدار ويسکوزيته ظاهري را در نمونه ها توجیه نماید. در این تحقیق اثر خطی و غلظت نانومولسیون افزوده شده بر میزان ويسکوزيته ظاهري معنی دار بود.

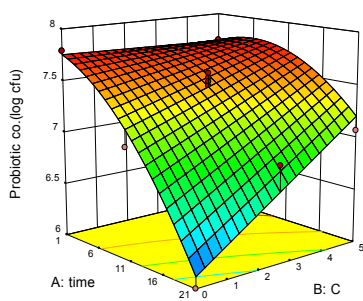


Fig 14 3-dimensional Contour-Plot of storage time and concentration of NE on probiotic count
همانطور که در شکل(۱۴) مشاهده می شود، با افزایش غلظت نانومولسیون و گذشت مدت زمان نگهداری به ترتیب جمعیت پروبیوتیک ها افزایش و کاهش نشان دادند، بکارگیری نانومولسیون حاوی موسیر ایرانی تاثیر معنی داری بر رشد و فعالیت میکرووارگانیسم های پروبیوتیک و باکتری های مولد اسیدلاکتیک موجود در استارترا داشتند، که علت افزایش مواد غذایی موجود در نانومولسیون ها جهت تقویت رشد میکرووارگانیسم های باشد و همچنین بر خلاف انتظار، اثر بازدارندگی ترکیبات موجود در انسانس ها بر سایر میکرووارگانیسم های مزاحم و کاهش رقابت آن ها با میکرووارگانیسم های پروبیوتیک می تواند از عوامل تقویت کننده رشد باکتری های پروبیوتیک باشد. ال ناوایی و همکاران (۱۹۹۸) گزارش کردند که افزایش انسانس آویشن باعث افزایش رشد لاكتوباسیلوس ها در نمونه های لبne گردید [۵۸].
دانکر و همکاران (۲۰۰۷) گزارش کردند که با افزایش مقدار کازئینات سدیم و عصاره نعناع تعداد این باکتری افزایش یافت [۱۷].

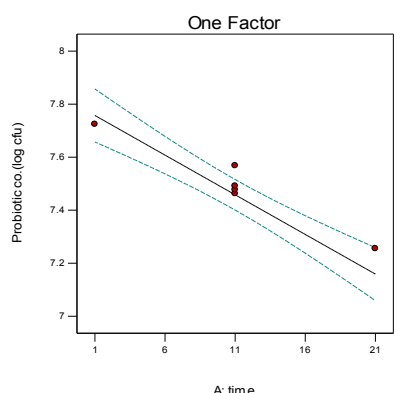


Fig 15 The single factor curve of storage time of NE on probiotic count

پروتئین-پروتئین در ساختار شبکه ای ماست می باشد. این نتایج با نتایج پژوهش کاپلا و همکاران (۲۰۰۶) مطابقت داشت [۵۶]. ژونگ و همکاران (۲۰۱۸) نتیجه گرفتند که غنی سازی ماست با نانومولسیون گاما اوریزانول باعث کاهش ویسکوزیته ظاهری گردید [۵۷].

۴-۹- شمارش جمعیت پروبیوتیک ماست

پروبیوتیک غنی شده با نانومولسیون

یکی از ویژگی های بسیار مهم در مورد میکرووارگانیسم های پروبیوتیک زنده مانی و بقای آنها در محصولات می باشد. رشد و زنده مانی میکرووارگانیسم های پروبیوتیک متاثر عوامل بسیاری از جمله نوع و گونه پروبیوتیک، سطح تلقیح، دمای انکوباسیون، pH، رشد عوامل تحریک کننده و بازدارنده ها، زمان نگهداری، غلظت متابولیت ها و در دسترس بودن مواد مغذی می باشند. آنالیز داده ها نشان داد که شمارش پروبیوتیک (لاكتوباسیلوس اسیدوفیلوس) در نمونه های ماست پروبیوتیک غنی شده با نانومولسیون انسانس موسیر ایرانی حاوی اسیدهای چرب امگا سه را می توان با معادله زیر توصیف کرد.

$$\text{probiotic co} = 7.471476 - 0.53889A + 0.26716B + 0.286814AB - 0.27183A^2$$

در معادلات فوق ضرائب A، B به ترتیب نشانگر مدت زمان نگهداری و غلظت نانومولسیون می باشد. چنانکه در جدول آنالیز واریانس شمارش جمعیت پروبیوتیک نشان داده شده، با توجه به اینکه این مدل ها برای نمونه های غنی شده با نانومولسیون انسانس های موسیر ایرانی به ترتیب دارای F -value معادل ۰/۶۵۵۲۵ (سطح معنی دار)، $P < ۰/۹۱۵$ ، $۰/۹۴۵$ می باشد. نتایج نشان می دهد که مدل نهایی بدست آمده، کارآمد بوده و قادر است بطور رضایت بخشی، تغییرات ویژگی های مورد آزمون را توجیه نماید و در مراحل بعدی پیشگویی و بهینه سازی بعنوان یک شاخص اصلی مورد استفاده قرار گیرد.

$$\text{Syneresis}(\%) = 28.37667 + 10.41833A - 1.47B - 1.4625AB$$

در معادلات فوق ضرائب A، B به ترتیب نشانگر مدت زمان نگهداری و غلظت نانومولسیون می باشند. مطابق آنالیز واریانس سینرزیس در نمونه های غنی شده با نانومولسیون اسانس موسیر ایرانی حاوی اسیدهای چرب امگا سه، F- value معادل ۲۶/۸۰۹۲ (سطح معنی دار)، $P < 0.0001$ ضرائب تبیین و تبیین اصلاح شده به ترتیب 0.909 ± 0.0875 می باشند و Lack of fit این مدل ها غیر معنی دار می باشد.

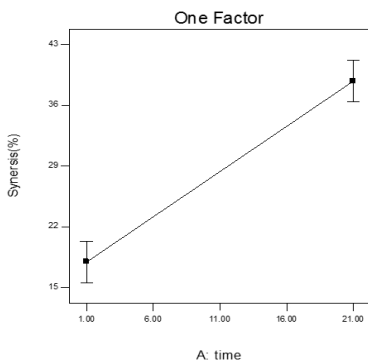


Fig 16 The single factor curve of storage time of NE on syneresis of probiotic yogurt

همانطور که در شکل (۱۶) مشاهده می شود با گذشت مدت زمان نگهداری، میزان سینرزیس نمونه ها افزایش معنی داری داشت، که بدلیل، کاهش pH و افزایش اسیدیته در طی دوران نگهداری در نتیجه خروج آب از ساختار شبکه ای ماست می باشد، به بیان دیگر، بازآرایی شبکه کازئینی به علت تغییر در میزان اسیدیته ماست می تواند منجر به آب اندازی شود. همچنین، با توجه به زنده مانی و فعالیت باکتری های پروبیوتیک و آغازگر ماست در حین نگهداری در یخچال و در نتیجه هیدرولیز و هضم پروتئین های محصول توسط آنها، با گذشت مدت زمان نگهداری، میزان سینرزیس افزایش می یابد. چرا که پروتئین های عامل بافت مطلوب خاصیت خود را از دست داده و پیوند با آنها گستته می شود. وحیدی و مظاہری (۲۰۰۸) نیز افزایش اسیدیته در طول نگهداری را عامل افزایش سینرزیس ماست عنوان کردند [۶۲]. همچنین محققین گزارش کردند که در زمان های نخست نگهداری با افزایش مقدار عصاره نعناع و به دنبال آن افزایش سوبستراتی در دسترس جهت رشد میکروارگانیسم ها، فعالیت متابولیکی باکتری افزایش یافته و موجب کاهش pH و افزایش اسیدیته در نمونه

در مطالعه حاضر تعداد باکتریهای پروبیوتیک لاکتوباسیلوس اسیدوفیلوس در تمامی نمونه ها، طی نگهداری در یخچال از روز اول تا روز بیست و یکم روند کاهشی داشت (شکل ۱۵)، از جمله سایر عوامل مؤثر بر کاهش تعداد باکتریهای پروبیوتیک طی مدت زمان نگهداری در یخچال می توان به تغییرات اسیدیته، تولید متابولیت هایی نظیر: اسیدهای آلی و پراکسید هیدروژن توسط باکتریهای سنتی ماست و همچنین محدودیت دسترسی به مواد مغذی در محیط اشاره کرد. لازم به ذکر است که در تمامی تیمارها تعداد باکتریهای پروبیوتیک مورد مطالعه در هر گرم از فرآورده تولید شده بیشتر از حداقل توصیه شده در یک فرآورده پروبیوتیک 10^6 باکتری در هر گرم بود. بنابراین می توان ادعا نمود که تمامی نمونه ها تا روز ۲۱ نگهداری در یخچال خواص مفید یک فرآورده پروبیوتیک را داشتند. محققین در بررسی بقای لاکتوباسیلوس اسیدوفیلوس و بیفیدوباکتریوم لاکتیس در ماست حاوی (ABY) تهیه شده از کشت های تجاری بیفیدوباکتریوم لاکتیس، لاکتوباسیلوس اسیدوفیلوس و باکتریهای سنتی ماست تولید پراکسید هیدروژن توسط لاکتوباسیلوس دلبروکی زیر گونه بولگاریگوس و محدودیت دسترسی به مواد مغذی در محیط را از عوامل مهم کاهش میزان باکتریهای پروبیوتیک گزارش نمودند [۵۹]. در تحقیقی، قابلیت بقای لاکتوباسیلوس اسیدوفیلوس در بیو ماست حاوی غلظت های مختلفی از متنا پیپریتا و کاکوتی از خانواده نعناعیان بعد از ۷ روز نگهداری در دمای ۴ درجه سانتی گراد به طور قابل توجهی کاهش یافت [۶۰]. شهدادی و همکاران (۲۰۱۵)، کاهش جمعیت باکتریهای پروبیوتیک در طی زمان را نتیجه گرفتند [۶۱].

۴-۱۰-تغییرات میزان سینرزیس (آب اندازی)

ماست پروبیوتیک غنی شده با نانومولسیون

یکی دیگر از فاکتورها مهم در تعیین کیفیت ماست میزان آب اندازی (سینرزیس) می باشد. میزان آب اندازی به میزان پروتئین، نسبت پروتئین آب پنیر به کازئین، ماده خشک، میزان چربی، پیش تیمار حرارتی، هموژنیزاسیون و نوع استارتربکار رفته شده در تهیه ماست بستگی دارد. آنالیز داده های آزمایش نشان داد که معادله میزان آب اندازی (سینرزیس) در ماست پروبیوتیک حاوی نانومولسیون اسانس موسیر ایرانی حامل اسیدهای چرب امگا سه بصورت زیر توصیف کرد.

های حاوی عصاره گردیده و در نتیجه سینزیس افزایش یافت

. [۶۳]

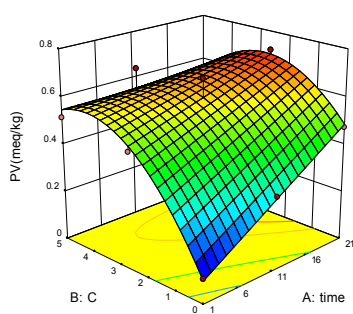


Fig 18 3-dimensional Contour-Plot of storage time and concentration of NE on Peroxide value

همانطور که در شکل (۱۸) نشان داده شده است، اندیس پراکسید در نمونه های حاوی نانومولسیون ها نسبت به نمونه های شاهد در طول ۲۱ روز نگهداری افزایش معنی داری یافت. قابل ذکر است که در مقایسه با نمونه های حاوی روغن ماهی بدون انکپسوله شده میزان اندیس پراکسید کمتر بود. بی و (۲۰۰۸) نتایج مشابهی را گزارش دادند، که افزودن روغن ماهی انکپسوله شده درون پنیر، سبب کاهش اندیس های پراکسید و تیوباریتوریک در طی ۳۵ روز نگهداری، در مقایسه با نمونه های حاوی روغن ماهی بدون انکپسولسیون گردید [۶۶]. توکلی و همکاران (۲۰۱۸) گزارش نمودند، در نمونه های ماست شاهد در طی بیست و یک روز نگهداری بدليل داشتن اسیدهای چرب غیراشباع اندیس پراکسید افزایش داشت و همچنین نمونه های حاوی نانولیپوزوم اسیدهای چرب امگا سه نسبت به نمونه های کترول اندیس پراکسید ۱/۸ برابر بیشتر گردید [۶۷].

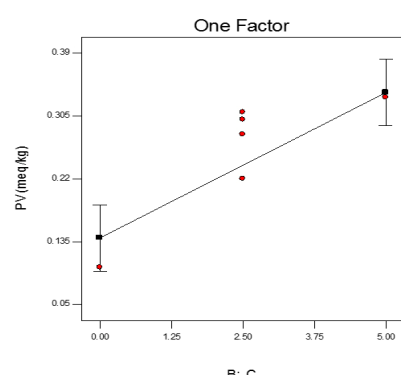


Fig 19 The single factor curve of concentration of NE on Peroxide value

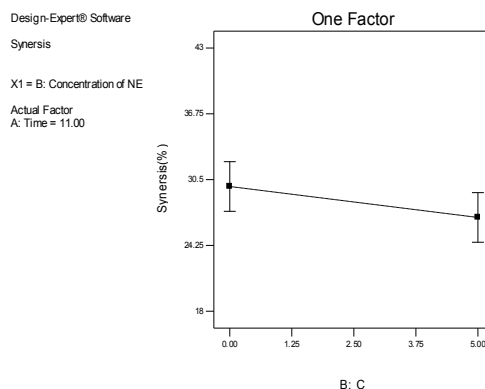


Fig 17 The single factor curve of NE concentration on syneresis of probiotic yogurt

همانطور که در شکل (۱۷) مشاهده می شود، با افزایش غلظت نانومولسیون ها میزان سینزیس کاهش داشت، علت آن بالا رفتن ظرفیت نگهداری آب توسط بکارگیری سورفاکتانت ها و برهمکنش با مولکول های آب می باشد و نیز افزایش ماده خشک شیر در اثر افزودن سورفاکتانت ها می باشد. این پژوهش با پژوهش امیروندی و صالحی نیما (۲۰۱۱) مطابقت داشت [۶۴]. در مطالعه ای انجام شده توسط قربانزاده و همکاران (۲۰۱۷) گزارش کردند که لستین افزوده شده در نانولیپوزوم سبب جذب آب و کاهش میزان سینزیس ماست غنی شده با نانولیپوزوم اسیدهای چرب امگا سه گردید [۶۵].

۴-۱۱- تغییرات اندیس پراکسید در ماست

پروپیوتیک غنی شده با نانومولسیون

آنالیز داده ها نشان داد که تغییرات اندیس پراکسید در نمونه های ماست پروپیوتیک غنی شده با نانومولسیون اسانس موسیر ایرانی حاوی اسیدهای چرب امگا سه را می توان با معادله زیر توصیف کرد.

$$PV(\text{meq/kg}) = 0.603333 + 0.1A + 0.13B - 0.1AB - 0.18B^2$$

در معادلات فوق ضرائب A، B به ترتیب نشانگر مدت زمان نگهداری و غلظت نانومولسیون می باشند. در این مدل F-value معادل $25/0.4233 < 0.0001$ (سطح معنی دار)، $P < 0.0001$ Lack of fit این مدل غیر معنی دار باشد و $R^2 = 0.934$ ، $F = 897.0$ باشند.

می باشد.

مراحل نگهداری یخچالی میزان ناجیزی اسید تولید می کنند. اما باکتریهای سنتی ماست از جمله استرپتوفکوس ترموفیلوس و لاکتوباسیلوس بولگاریکوس برخلاف باکتری های پروبیوتیک حتی در طی نگهداری یخچالی نیز فعالیت دارند و از طریق تخمیر لاکتوز مقداری اسید لاکتیک تولید می کنند که باعث کاهش قابل توجهی pH در حین نگهداری می شوند.

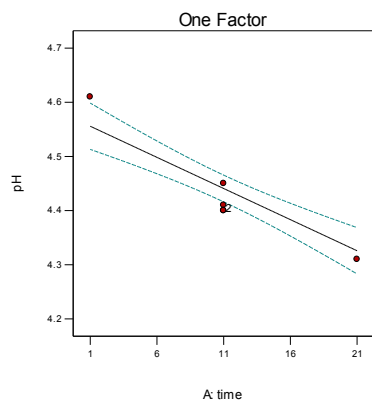


Fig 20 The single factor curve of storage time and NE concentration on pH

این مسئله باعث پدیده بیش اسیدی شدن در محصولات حاوی باکتریهای سنتی ماست طی نگهداری می شود بیش اسیدی شدن یکی از دلایل افت شدید پروبیوتیک ها طی نگهداری در ماست و محصولات مشابه است. میانگین تغییرات pH در ماست های حاوی نانومولسیون اسانس موسیر ایرانی (۴/۴۴) بود. قربانزاده و همکاران (۲۰۱۷) کاهش pH در ماست حاوی نانولیپوزوم های اسیدهای چرب امگا سه را در طول مدت زمان نگهداری را گزارش نمودند. همچنین بیان کردند که در نمونه های شاهد نسبت به نمونه های انکپسوله شده تغییرات pH و اسیدیته شدیدتر بود زیرا ساختار کپسوله کردن تاثیر محافظتی بر سیستم داشت [۶۵].

۴-۱۳- اندازه گیری تغییرات اسیدیته در ماست

پروبیوتیک غنی شده با نانومولسیون

آنالیز داده ها نشان داد که تغییرات اسیدیته در نمونه های ماست پروبیوتیک غنی شده با نانومولسیون اسانس موسیر ایرانی بصورت زیر توصیف کرد.

$$\text{Acidity} = 97.33 + 9A$$

در معادلات فوق ضریب A نشانگر مدت زمان نگهداری می باشد. مطابق آنالیز واریانس اسیدیته نمونه های حاوی اسانس موسیر ایرانی در این مدل ها F-value معادل ۲۶/۶۰۵۸۴ و (سطح معنی دار)، $P < ۰/۰۰۱$ ، ضرائب تبیین و تبیین اصلاح شده $۰/۸۸۸$ و $۰/۸۲۷$ می باشند و عدم برآزش مدل ها غیر معنی دار می باشد.

همچنین با افزایش غلظت نانومولسیون افزوده شده (شکل ۱۹)، به علت افزایش میزان اسیدهای چرب غیر اشباع میزان اندیس پراکسید افزایش داشت. از طرف دیگر افزایش اندیس پراکسید در نمونه های حاوی اسیدهای چرب بدون انکپسوله شدن نسبت به نمونه های حاوی اسیدهای چرب امگا سه انکپسوله شده بیشتر بوده است (بیشتر از $۰/۸$ میلی اکی والان بر کیلوگرم)، همچنین مطابق پژوهش نیلسن و همکاران (۲۰۰۹)، که اشاره کردند ماست به عنوان یک ترکیب لبنی، عامل پایدار اکسایشی بالای امولسیون های غنی شده با روغن ماهی بود و این ترکیب می تواند از اسیدهای چرب چند غیر اشباعی امگا سه در برابر تخریب اکسایشی حفاظت کند [۶۸]. از سوی دیگر دلایل پایداری بیشتر نانومولسیون های روغن ماهی درون ساختار ماست شامل: اولی اینکه، کاهش pH در ماست سبب افزایش محلولیت یونهای فلزی و در پایداری اکسیداتیوی موثر باشد، دوم اینکه، کاهش pH سبب افزایش دافعه الکتروستاتیکی شده و در نتیجه منجر به افزایش پایداری نسبت به اکسیداسیون گردید و سوم، با کاهش pH و تجزیه پروتئین ناشی از آن، بیوپتیدهایی با فعالیت آنتی اکسیدانی مانند فسفوپتید بیواکتیو بدست آمده که می توانند سبب پایداری بیشتر در برابر اکسیداسیون گردد.

۴-۱۲- اندازه گیری تغییرات pH در ماست

پروبیوتیک غنی شده با نانومولسیون

آنالیز داده ها نشان داد که تغییرات pH در نمونه های ماست پروبیوتیک غنی شده با نانومولسیون اسانس موسیر ایرانی بصورت زیر می توان توصیف کرد.

$$pH = 4.330833 - 0.17667 A$$

در معادلات فوق ضریب A نشانگر مدت زمان نگهداری می باشد. مطابق آنالیز واریانس، در این مدل معادل F-value $۸۸/۲۲۹۲۹$ (سطح معنی دار)، $P < ۰/۰۰۰۱$ ، ضرائب تبیین و تبیین اصلاح شده $۰/۸۸۸$ و $۰/۸۲۷$ می باشند و عدم برآزش مدل ها غیر معنی دار می باشد.

همانطور که در شکل (۲۰) مشاهده می گردد، میزان pH نمونه ها در طول مدت زمان نگهداری کاهش معنی دار داشت، میزان pH در دوران نگهداری بین ۴/۶-۴ بود، به طور کلی باکتری های پروبیوتیک از جمله باکتریهای لاکتیکی هستند که در

در معادلات فوق ضرائب A و B نشانگر مدت زمان نگهداری و غلظت نانومولسیون افزوده شده می باشند. بر اساس آنالیز واریانس ارزیابی حسی نمونه های غنی شده با نانومولسیون اسانس موسیر ایرانی در این مدل F -value معادل $112/50.67$ (سطح معنی دار)، $P < 0.001$ ، ضرائب تبیین و تبیین اصلاح شده $0.961/9.53$ می باشند و Lack of fit این مدل غیر معنی دار می باشد.

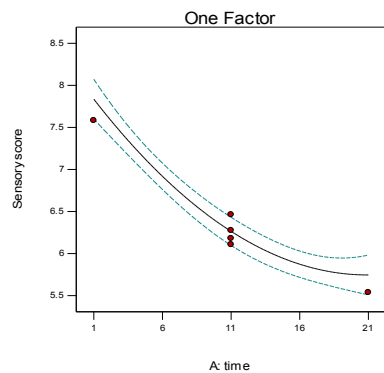


Fig 22 The single factor curve of storage time on sensory evaluation

همانطور که در شکل (۲۲) مشاهده می شود در طول مدت زمان نگهداری امتیاز حسی کاهش نشان دادند، امتیاز حسی میانگینی از عطر، طعم، بافت و رنگ بود که برعکس از این ویژگی ها با گذشت مدت زمان نگهداری کاهش یافت. قریانزاده و همکاران (۲۰۱۷) نیز کاهش امتیازات حسی در ماست غنی شده با نانولیپوزوم حاوی روغن ماهی را گزارش کردند [۶۵].

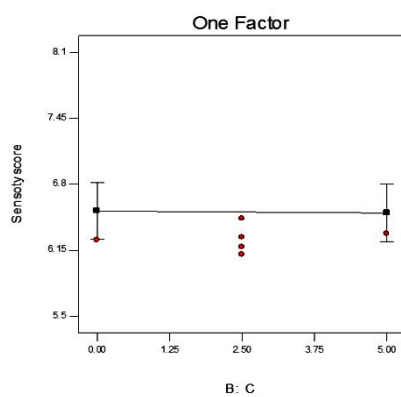


Fig 23 The single factor curve of storage time on sensory evaluation

در نمونه های حاوی اسانس موسیر ایرانی افزایش در غلظت نانومولسیون ها امتیازات حسی تغییر معنی داری نداشت (شکل ۲۳) و بعبارتی مورد پسند ارزیاب های حسی قبول گرفته اند، از لحاظ بافتی نمونه های حاوی نانومولسیون به علت جذب

شده $0.961/9.53$ می باشند و Lack of fit این مدل غیر معنی دار می باشد.

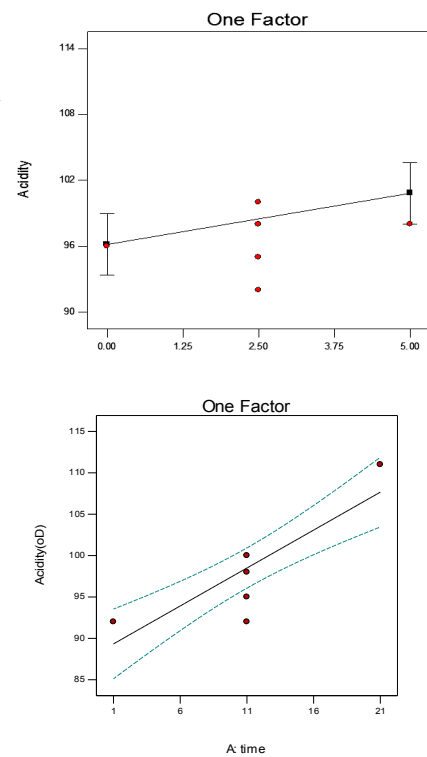


Fig 21 The single factor curves of NE concentration and storage time on Acidity

همانطور که در شکل (۲۱)) مشاهده شده است در طول مدت زمان نگهداری میزان اسیدیته افزایش یافت و این تغییرات با تغییرات pH همخوانی داشته است. در طی مدت زمان نگهداری، بدليل بیش اسیدی شدن حاصل از فعال استارتراها میزان اسیدیته افزایش داشت. میانگین اسیدیته میان نمونه های ماست غنی شده با نانومولسیون اسانس موسیر ایرانی $94/27$ درجه دورنیک) بود. با افزایش غلظت نانومولسیون ها میزان اسیدیته با سرعت کمتری افزایش داشت (شکل ۲۱)، به علت قرارگیری ذرات روغن در پوشش سورفاکтанتی برهمکنش میان روغن با عوامل تسریع کننده اکسیداسیون به حداقل رسانیده و تا حدودی از افزایش بیشتر اسیدیته ممانعت بعمل آمد.

۴-۱۴- ارزیابی حسی ماست پروبیوتیک غنی

شده با نانومولسیون

آنالیز داده ها نشان داد که ارزیابی حسی در نمونه های ماست پروبیوتیک را می توان با معادله در نمونه های غنی شده با نانومولسیون اسانس موسیر ایرانی حاوی اسیدهای چرب امگا سه به ترتیب زیر توصیف کرد.

$$\text{Sensory score} = 6.626458 - 1.045A + 0.52625A^2$$

مدت زمان نگهداری بر ویژگی های نانومولسیون ها بررسی شدند و سپس در مرحله دوم فرمولاسیون های بهینه نانومولسیون ها در ماست پروریوتیک حاوی لاكتوباسیلوس با مطلوبیت ۸/۰ بصورت مدت زمان نگهداری ۱۵ روز و غلظت نانومولسیون ۴/۱ درصد تعیین شد، بطور کلی نتایج نشان دادند، که با افزایش غلظت سورفاکтанت، به علت کاهش میانگین قطر ذرات، پراکنش نوری کاهش یافته و میزان کدورت کاهش یافت، که بیانگر مناسب بودن بکارگیری نانومولسیون مورد نظر در سیستم های شفاف غذایی می باشد، و مطابق قانون استوک به علت کاهش در اندازه ذرات، میزان اندیس خامه ای شدن و صعود ذرات چربی بر سطح نمونه ها کاهش یافت. همچنین ساختار نانومولسیون و استفاده از انسانس های گیاهی سبب پوشاندن بوی نامطلوب روغن ماهی گردید، در غنی سازی ماست پروریوتیک با نانومولسیون ها، در طول مدت زمان نگهداری، هیچگونه تاثیر منفی بر خصوصیات فیزیکو شیمیایی و میکروبی ماست نداشت، در حضور نانومولسیون و انسانس موسیر ایرانی، رشد جمعیت پروریوتیک افزایش یافت، همچنین نمونه های ماست غنی سازی شده با نانومولسیون انسانس موسیر ایرانی حامل اسیدهای چرب امگا سه در مقایسه با نمونه های شاهد امتیازات حسی بیشتری داشتند، بنابراین بکارگیری روش کم انرژی امولسیفیکاسیون خودبخودی در این تحقیق، در تولید نانومولسیون های انسانس موسیر ایرانی حامل اسیدهای چرب امگا سه، از نظر بهبود کیفی ویژگی های فیزیکو شیمیایی و افزایش ثبات در طول مدت زمان نگهداری روش بسیار مناسب و کاربردی بود.

۶- ت歇کر و قدردانی

بدین وسیله از همکاری مدیریت محترم شرکت آذین شوستر، جناب آقای سasan قنادان در انجام مطالعه حاضر سپاسگزاری می گردد.

۷- منابع

- [1] James, M. J., Gibson, R. A., & Cleland, L. G. (2000). Dietary polyunsaturated fatty acids and inflammatory mediator production. *The American Journal of Clinical Nutrition*, 71(1), 343s-348s.
- [2] Blades, M. (2000). Functional foods or nutraceuticals. *Nutrition and Food*

بیشتر آب توسط سورفاکتانت ها مطلوب بود. افزودن روغن ماهی سالمون به شکل ریزپوشانی شده به ماست طعم دار حاوی توت فرنگی، موجب بهبود خواص حسی فراورده نهایی گردید [۶۹].

۴- بهینه سازی فرمولاسیون ماست

پروریوتیک غنی شده با نانومولسیون

به منظور بهینه سازی پاسخ های موثر در تولید ماست پروریوتیک غنی شده مطابق شکل (۲۴)، از روش تابع مطلوبیت استفاده شد. به منظور بهینه سازی توأم، ابتدا اهداف بهینه سازی مشخص گردید. یعنی پارامترهای ویسکوزیته، شمارش جمعیت پروریوتیک و ارزیابی حسی در بیشینه و میزان سینزیس و اندیس پراکسید در کمینه در نظر گرفته شدند. مقادیر بهینه ماست های پروریوتیک غنی شده با نانومولسیون های موسیر ایرانی حاوی اسیدهای چرب امگا سه با مطلوبیت ۰/۰ بصورت مدت زمان نگهداری ۱۵ روز و غلظت نانومولسیون ۴/۱ درصد بود و پاسخ های بهینه مقدار سینزیس ۴۱۰/۸۵۰ درصد، اندیس پراکسید ۰/۴ درصد، ویسکوزیته ۰/۷۶۸ و سانتی پواز، رشد جمعیت پروریوتیک ($\log \text{cfu}$) ۰/۷۶۸ و ارزیابی حسی (۸) تخمین زده شد.

Desirability

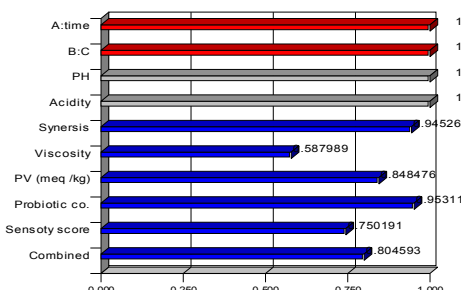


Fig 24 Desirability functions for all factors and responses

۵- نتیجه گیری

در این مطالعه، در مرحله نخست نانومولسیون های انسانس موسیر ایرانی حاوی اسیدهای چرب امگا سه با استفاده از روش کم انرژی، امولسیفیکاسیون خودبخودی به منظور دستیابی به فرمولاسیون های بهینه، تاثیر فاکتورهای موثر نوع سورفاکتانت، نسبت سورفاکتانت به روغن، مقدار امگا سه و

- homogenization and amphiphilic solvent dissolution/evaporation approach. *Food Hydrocolloids*, 24(6-7), 560-569.
- [13] McClements, D. J., Decker, E. A., & Weiss, J. (2007). Emulsion-based delivery systems for lipophilic bioactive components. *Journal of Food Science*, 72(8).
- [14] Li, Y., Xiao, H., & McClements, D. J. (2012). Encapsulation and delivery of crystalline hydrophobic nutraceuticals using nanoemulsions: Factors affecting polymethoxyflavone solubility. *Food biophysics*, 7(4), 341-353.
- [15] McClements, D. J. (2011). Edible nanoemulsions: fabrication, properties, and functional performance. *Soft Matter*, 7(6), 2297-2316.
- [16] Lu, Y., & Chen, S. C. (2004). Micro and nano-fabrication of biodegradable polymers for drug delivery. *Advanced Drug Delivery Reviews*, 56(11), 1621-1633.
- [17] Donkor, O. N., Nilmini, S. L. I., Stolic, P., Vasiljevic, T., & Shah, N. P. (2007). Survival and activity of selected probiotic organisms in set-type yoghurt during cold storage. *International Dairy Journal*, 17(6), 657-665.
- [18] Estrada, J.D., Boeneke, C., Bechtel, P. & Sathivel, S. 2011. Developing a strawberry yogurt fortified with marine fish oil. *Journal of Dairy Science*, 94: 5760-5769.
- [19] Saberi, A. H., Fang, Y., & McClements, D. J. (2013). Effect of glycerol on formation, stability, and properties of Vitamin-E enriched nanoemulsions produced using spontaneous emulsification. *Journal of colloid and interface science*, 411, 105-113.
- [20] Saberi, A. H., Fang, Y., & McClements, D. J. (2013). Fabrication of vitamin E-enriched nanoemulsions: factors affecting particle size using spontaneous emulsification. *Journal of colloid and interface science*, 391, 95-102.
- [21] Xia, S., & Xu, S. (2005). Ferrous sulfate liposomes: preparation, stability and application in fluid milk. *Food research international*, 38(3), 289-296.
- [22] Chanamai, R., & McClements, D. J. (2001). Depletion flocculation of beverage emulsions by gum arabic and modified starch. *Journal of Food Science*, 66(3), 457-463.
- [23] Klinkesorn, U., Sophanodora, P., Chinachoti, P., Decker, E. A., & McClements, D. J. (2006). Characterization Science, 30(2), 73-76.
- [3] Frisvold, M. 2009. Functional Foods and Nutraceuticals. Complementary and Alternative Therapies in Nursing, 439.
- [4] Maki, K. C., Yurko-Mauro, K., Dicklin, M. R., Schild, A. L., & Geohas, J. G. (2014). A new, microalgal DHA-and EPA-containing oil lowers triacylglycerols in adults with mild-to-moderate hypertriglyceridemia. *Prostaglandins, Leukotrienes and Essential Fatty Acids*, 91(4), 141-148.
- [5] Kris-Etherton, P. M., Grieger, J. A., & Etherton, T. D. (2009). Dietary reference intakes for DHA and EPA. *Prostaglandins, Leukotrienes and Essential Fatty Acids*, 81(2-3), 99-104.
- [6] Lavie, C. J., Milani, R. V., Mehra, M. R., & Ventura, H. O. (2009). Omega-3 polyunsaturated fatty acids and cardiovascular diseases. *Journal of the American College of Cardiology*, 54(7), 585-594.
- [7] Freeman, M. P., Hibbeln, J. R., Wisner, K. L., Davis, J. M., Mischoulon, D., Peet, M., & Stoll, A. L. (2006). Omega-3 fatty acids: evidence basis for treatment and future research in psychiatry. *Journal of Clinical psychiatry*, 67(12), 1954.
- [8] Nuchi, C. D., Hernandez, P., McClements, D. J., & Decker, E. A. (2002). Ability of lipid hydroperoxides to partition into surfactant micelles and alter lipid oxidation rates in emulsions. *Journal of agricultural and food chemistry*, 50(19), 5445-5449.
- [9] Gharsallaoui, A., Roudaut, G., Chambin, O., Voilley, A., & Saurel, R. (2007). Applications of spray-drying in microencapsulation of food ingredients: An overview. *Food Research International*, 40(9), 1107-1121.
- [10] Nuruzzaman, M., Rahman, M. M., Liu, Y., & Naidu, R. (2016). Nanoencapsulation, nano-guard for pesticides: a new window for safe application. *Journal of agricultural and food chemistry*, 64(7), 1447-1483.
- [11] Ahmed, K., Li, Y., McClements, D. J. & Xiao, H. (2012). Nanoemulsion-and emulsion-based delivery systems for curcumin: encapsulation and release properties. *Food Chemistry*, 132, 799-807.
- [12] Lee, S. J., & McClements, D. J. (2010). Fabrication of protein-stabilized nanoemulsions using a combined

- delivery of omega-3 fatty acids: opportunities and obstacles in the food industry. *Food and Function*, 6(1), 41-54.
- [35] Guerra-Rosas, M. I., Morales-Castro, J., Ochoa-Martínez, L. A., Salvia-Trujillo, L., & Martín-Belloso, O. (2016). Long-term stability of food-grade nanoemulsions from high methoxyl pectin containing essential oils. *Food Hydrocolloids*, 52, 438-446.
- [36] Krstonošić, V., Dokić, L., Dokić, P., & Dapčević, T. (2009). Effects of xanthan gum on physicochemical properties and stability of corn oil-in-water emulsions stabilized by polyoxyethylene (20) sorbitan monooleate. *Food Hydrocolloids*, 23(8), 2212-2218.
- [37] Li, J., Hwang, I. C., Chen, X., & Park, H. J. (2016). Effects of chitosan coating on curcumin loaded nano-emulsion: Study on stability and in vitro digestibility. *Food Hydrocolloids*, 60, 138-147.
- [38] Li, J., Solval, K. M., Alfaro, L., Zhang, J., Chotiko, A., Delgado, J. L. B., & Sathivel, S. (2015). Effect of blueberry extract from blueberry pomace on the microencapsulated fish oil. *Journal of Food Processing and Preservation*, 39(2), 199-206.
- [39] Saberi, M., Hashemiravan, M., & Farhadyar, N. (2014). Influence of casein and inulin on the properties of nano-particle encapsulation of fish oil. *J. Biodiversity Environ. Sci.*, 4(2), 318-326.
- [40] Topuz, O. K., Özvural, E. B., Zhao, Q., Huang, Q., Chikindas, M., & Gölükçü, M. (2016). Physical and antimicrobial properties of anise oil loaded nanoemulsions on the survival of foodborne pathogens. *Food chemistry*, 203, 117-123.
- [41] Mohammadi, A., Jafari, S. M., Esfanjani, A. F., & Akhavan, S. (2016). Application of nano-encapsulated olive leaf extract in controlling the oxidative stability of soybean oil. *Food chemistry*, 190, 513-519.
- [42] Gulotta, A., Saberi, A. H., Nicoli, M. C., & McClements, D. J. (2014). Nanoemulsion-based delivery systems for polyunsaturated (ω -3) oils: formation using a spontaneous emulsification method. *Journal of Agricultural and Food Chemistry*, 62(7), 1720-1725.
- [43] Rao, J., & McClements, D. J. (2012). Food-grade microemulsions and nanoemulsions: Role of oil phase composition on formation and stability. *Food hydrocolloids*, 29(2), 326-334.
- of spray-dried tuna oil emulsified in two-layered interfacial membranes prepared using electrostatic layer-by-layer deposition. *Food Research International*, 39(4), 449-457.
- [24] Chiesa, M., Garg, J., Kang, Y. T., & Chen, G. (2008). Thermal conductivity and viscosity of water-in-oil nanoemulsions. *Colloids and Surfaces A: Physicochemical and Engineering Aspects*, 326(1-2), 67-72.
- [25] Vinderola, C. G., & Reinheimer, J. A. (1999). Culture media for the enumeration of *Bifidobacterium bifidum* and *Lactobacillus acidophilus* in the presence of yoghurt bacteria. *International Dairy Journal*, 9(8), 497-505.
- [26] Keogh, M. K., & O'kennedy, B. T. (1998). Rheology of stirred yogurt as affected by added milk fat, protein and hydrocolloids. *Journal of Food Science*, 63(1), 108-112.
- [27] Iranian National Standard No. 695, Yogurt - Properties and Test Methods.
- [28] Iranian National Standard No. 2852, Acidity and pH.
- [29] Iranian National Standard No. 4179, Measurement of peroxide value in edible oils and fats
- [30] Bouchemal, K., Briançon, S., Perrier, E., & Fessi, H. (2004). Nano-emulsion formulation using spontaneous emulsification: solvent, oil and surfactant optimisation. *International journal of pharmaceutics*, 280(1-2), 241-251.
- [31] Kabri, T. H., Arab-Tehrany, E., Belhaj, N., & Linder, M. (2011). Physico-chemical characterization of nano-emulsions in cosmetic matrix enriched on omega-3. *Journal of Nanobiotechnology*, 9(1), 41.
- [32] Komaiko, J., & McClements, D. J. (2015). Low-energy formation of edible nanoemulsions by spontaneous emulsification: Factors influencing particle size. *Journal of Food Engineering*, 146, 122-128.
- [33] Tian, Y., Guo, Y., & Zhang, W. (2016). Effect of Oil Type, Aliphatic Alcohol, and Ionic Surfactants on the Formation and Stability of Ceramide-2 Enriched Nanoemulsions. *Journal of Dispersion Science and Technology*, 37(8), 1115-1122.
- [34] Walker, R., Decker, E. A., & McClements, D. J. (2015). Development of food-grade nanoemulsions and emulsions for

- Nyam, K. L. (2016). Kenaf (*Hibiscus cannabinus* L.) seed oil-in-water Pickering nanoemulsions stabilised by mixture of sodium caseinate, Tween 20 and β -cyclodextrin. *Food Hydrocolloids*, 52, 934-941.
- [55] Alfaro Sanabria, L. A. (2012). Development of a frozen yogurt fortified with a nano-emulsion containing purple rice bran oil.
- [56] Capela, P., Hay, T.K.C., & Shah, N.P. 2006. Effect of cryoprotectants, prebiotics and microencapsulation on survival of probiotic organisms in yoghurt and freeze-dried yoghurt. *Food Research International*. 39, 203–211
- [57] Zhong, J., Yang, R., Cao, X., Liu, X., & Qin, X. (2018). Improved Physicochemical Properties of Yogurt Fortified with Fish Oil/ γ -Oryzanol by Nanoemulsion Technology. *Molecules*, 23(1), 56.
- [58] El-Nawawy, M. A., El-Kenany, Y. M., & Abdel-Ghaffar, E. (1998). Effect of some herb plants on the quality of yoghurt. In Proceedings of the Seventh Conference.
- [59] Fritzen-Freire, C. B., Prudêncio, E. S., Pinto, S. S., Muñoz, I. B., & Amboni, R. D. (2013). Effect of microencapsulation on survival of *Bifidobacterium BB-12* exposed to simulated gastrointestinal conditions and heat treatments. *LWT-Food Science and Technology*, 50(1), 39-44.
- [60] Sarabi-Jamab, M., & Niazmand, R. (2009). Effect of essential oil of *Mentha piperita* and *Ziziphora clinopodioides* on *Lactobacillus acidophilus* activity as biyooghurt starter culture. *Am Eur J Agric Environ Sci*, 6(2), 129-31.
- [61] Shahdadi, F., Mirzaie, H., Kashaninejad, M., Khomeiri, M., Ziaifar, A. M., & Akbarian, A. (2015). Effects of various essential oils on chemical and sensory characteristics and activity of probiotic bacteria in drinking yoghurt.
- [62] Vahedi, N., Mazaheri, T. M. & Shahidi, F. (2008). Optimization of fruit yoghurt formulation and quality evaluation during storage.
- [63] Salvia-Trujillo, L., Decker, E. A., & McClements, D. J. (2016). Influence of an anionic polysaccharide on the physical and oxidative stability of omega-3 nanoemulsions: Antioxidant effects of alginate. *Food Hydrocolloids*, 52, 690-698.
- [64] Amirdivani, Sh. & Salihin, B. A. (2011). [44] Lee, S. J., & McClements, D. J. (2010). Fabrication of protein-stabilized nanoemulsions using a combined homogenization and amphiphilic solvent dissolution/evaporation approach. *Food Hydrocolloids*, 24(6-7), 560-569.
- [45] Li, M., Ma, Y., & Cui, J. (2014). Whey-protein-stabilized nanoemulsions as a potential delivery system for water-insoluble curcumin. *LWT-Food Science and Technology*, 59(1), 49-58.
- [46] Silva, H. D., Cerqueira, M. A., & Vicente, A. A. (2015). Influence of surfactant and processing conditions in the stability of oil-in-water nanoemulsions. *Journal of Food Engineering*, 167, 89-98.
- [47] Frascareli, E. C., Silva, V. M., Tonon, R. V., & Hubinger, M. D. (2012). Effect of process conditions on the microencapsulation of coffee oil by spray drying. *Food and Bioproducts Processing*, 90(3), 413-424.
- [48] Soottitantawat, A., Yoshii, H., Furuta, T., Ohkawara, M., & Linko, P. (2003). Microencapsulation by spray drying: influence of emulsion size on the retention of volatile compounds. *Journal of Food Science*, 68(7), 2256-2262.
- [49] Karthik, P., & Anandharamakrishnan, C. (2016). Fabrication of a nutrient delivery system of docosahexaenoic acid nanoemulsions via high energy techniques. *RSC Advances*, 6(5), 3501–3513
- [50] Guerra-Rosas, M. I., Morales-Castro, J., Ochoa-Martínez, L. A., Salvia-Trujillo, L., & Martín-Belloso, O. (2016). Long-term stability of food-grade nanoemulsions from high methoxyl pectin containing essential oils. *Food Hydrocolloids*, 52, 438-446.
- [51] Li, M., Ma, Y., & Cui, J. (2014). Whey-protein-stabilized nanoemulsions as a potential delivery system for water-insoluble curcumin. *LWT-Food Science and Technology*, 59(1), 49-58.
- [52] Liang, Y., Gillies, G., Patel, H., Matia-Merino, L., Ye, A., & Golding, M. (2014). Physical stability, microstructure and rheology of sodium-caseinate-stabilized emulsions as influenced by protein concentration and non-adsorbing polysaccharides. *Food Hydrocolloids*, 36, 245-255.
- [53] Maher, P. G. (2015). Stabilisation of dehydrated nanoemulsions using sugar-protein matrices.
- [54] Cheong, A. M., Tan, K. W., Tan, C. P., &

- [67] Tavakoli, H., Hosseini, O., Jafari, S. M., & Katouzian, I. (2018). Evaluation of physicochemical and antioxidant properties of yogurt enriched by olive leaf phenolics within nanoliposomes. *Journal of Agricultural and Food Chemistry*.
- [68] Nielsen, N. S., Klein, A., & Jacobsen, C. (2009). Effect of ingredients on oxidative stability of fish oil-enriched drinking yoghurt. *European Journal of Lipid Science and Technology*, 111(4), 337-345.
- [69] Estrada, J.D., Boeneke, C., Bechtel, P. & Sathivel, S. 2011. Developing a strawberry yogurt fortified with marine fish oil. *Journal of Dairy Science*, 94: 5760-5769.
- Change in yogurt fermentation characteristic and antioxidant potential and in vivo inhibition of angiotensin-1 converting enzyme upon the inclusion of peppermint, dill and basil. *Food Science and Technology*, 44:1458-1464
- [65] Ghorbanzade, T., Jafari, S. M., Akhavan, S., & Hadavi, R. (2017). Nano-encapsulation of fish oil in nano-liposomes and its application in fortification of yogurt. *Food Chemistry*, 216, 146–152.
- [66] Ye, A. (2008). Complexation between milk proteins and polysaccharides via electrostatic interaction: principles and applications—a review. *International Journal of Food Science and Technology*, 43(3), 406-415.

Evaluation of Physicochemical and sensory Properties of probiotic Yogurt Enriched by *Iraninan Shallot* Nanoemulsion containing omega3 fatty acid

Faraji, N.^{1*}, Alizadeh, M.², Almasi, H.³, Pirsa, S.⁴, Fraji, S⁵

1. Phd graduated student, R&D manager at azin shoushtar company, Khozestan, Iran
2. Professor, department of Food science and technology, Faculty of Agriculture, Urmia University, Urmia, Iran
3. Associate professor, department of Food science and technology, Faculty of Agriculture Urmia University, Iran
4. Associate professor, department of Food science and technology, Faculty of Agriculture Urmia University, Iran
5. MSc graduated student, QC manager at azin shoushtar company, Khozestan, Iran

(Received: 2019/12/24 Accepted:2020/04/11)

In this study, omega-3 fatty acid nanoemulsions were prepared by spontaneous emulsification using Iranian shallot essential oil. The aim of this study was to investigate the optimum conditions for the production of probiotic yogurt enriched with nanoemulsions of essential oil of omega3 fatty acids by using a D-optimal design. Nanoemulsions containing omega3 fatty acids were first produced by Iranian shallot essential oil (25% omega3, 35-day storage time, SOR (263/39) % and surfactant type of tween80), then the probiotic yogurt enrichment with the produced nanoemulsions, the effect of two independent variables of nanoemulsion concentration and storage time on physicochemical characteristics, population growth Probiotics and sensory properties of yogurt were investigated. The results showed that droplet size was highly influenced by surfactant concentration and surfactant type and increasing surfactant content, mean droplet diameter decreased significantly. In fact, increasing surfactant concentration caused to increased surfactant adsorption to W / O level and due to further reduction in surface tension and ultimately reduced the particle size, turbidity index, creaming index and increase coating efficiency, as well as the addition of nanoemulsions in probiotic yogurt on properties such as peroxide index, syneresis rate, Population of probiotics and Sensory evaluation were significant, population growth of probiotic microorganisms in yogurt increased in the presence of vegetable nanoemulsions of essential oil due to nutrient availability. Finally, 15 days storage time and 1.4% nanoemulsions were determined as an optimum formulation by numerical optimization.

Key words: Probiotic yogurt, *Iranian shallot*, Omega3 fatty acids, Nanoemulsion

* Corresponding Author E-Mail Address: Nasrin.faraji88@yahoo.com